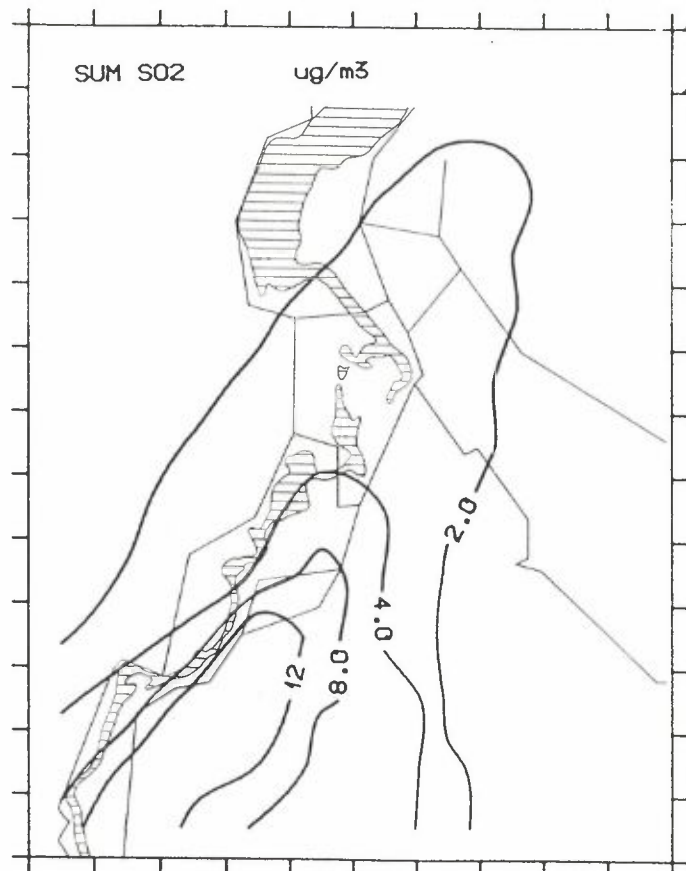


NILU OR : 60/91  
REFERANSE : O-90047  
DATO : OKTOBER 1991  
ISBN : 82-425-0291-9

# Spredningsberegninger for utslipp til luft i Vennesla, vinterhalvåret 1989

I. Haugsbakk



**NILU**

**NORSK INSTITUTT FOR LUFTFORSKNING**  
**Norwegian Institute for Air Research**  
POSTBOKS 64 — N-2001 LILLESTRØM — NORWAY

## INNHOLD

	Side
SAMMENDRAG .....	3
1 INNLEDNING .....	7
2 METODER .....	9
3 METEOROLOGISKE FORHOLD .....	10
4 LANGTIDSMIDDELKONSENTRASJONER VINTERHALVÅRET 1989 ...	12
4.1 Bidrag fra husoppvarming og småindustri .....	13
4.2 Bidrag fra punktkilder .....	15
4.3 Bidrag fra biltrafikk .....	21
4.4 Samlet bidrag fra alle kildegrupper .....	23
5 DØGNMIDDELKONSENTRASJONER I ET UTVALGT DØGN .....	27
6 KORTTIDSKONSENTRASJONER AV SO <sub>2</sub> FRA INDUSTRIUTSLIPP ..	35
7 KORTTIDSKONSENTRASJONER AV CO OG NO <sub>2</sub> LANGS VEIER ....	37
8 REFERANSER .....	41
VEDLEGG A: Meteorologiske data .....	43
VEDLEGG B: Beregnede middelkonsentrasjoner vinterhalvåret 1989 .....	49
VEDLEGG C: Grenseverdier for luftkvalitet .....	69
VEDLEGG D: Konsentrasjoner av CO og NO <sub>2</sub> langs veier .	75



## SAMMENDRAG

Norsk institutt for luftforskning (NILU) har på oppdrag fra Vennesla kommune, teknisk etat, utført spredningsberegninger for luftforurensende stoffer i et område som omfatter Vennesla tettsted og området omkring. Vi har beregnet middelkonsentrasjoner av stoffene svoveldioksid ( $\text{SO}_2$ ), nitrogendioksid ( $\text{NO}_2$ ), karbonmonoksid (CO) og partikler fra de tre kildegruppene husoppvarming/småindustri, punktkilder og biltrafikk.

Vindmålinger fra Kvarstein vinteren 1973/74 ga dominerende vindretninger langs dalaksen fra omkring nord-nordøst og sør-sørvest med forekomst på henholdsvis 37% og 34% av tiden. De største vindstyrkene ble observert ved vind fra sør og sør-sørvest. På grunnlag av vinddata fra Kvarstein og erfaringer fra sør-Norge har NILU satt opp en stabilitetsfordeling der stabil atmosfærisk sjiktning med dårlig spredning forekom i 52% av tiden vinterhalvåret 1989. Nøytral sjiktning, som er vanlig ved overskyet vær og moderate til sterke vinder ble observert i 43% av tiden.

De beregnede konsentrasjonene var lavere enn anbefalte grenseverdier for halvårsmiddelkonsentrasjoner, maksimale døgnmiddekkonsentrasjoner og maksimale timemiddelkonsentrasjoner.

### Middelkonsentrasjoner i vinterhalvåret

Maksimale beregnede halvårsmidler for  $\text{SO}_2$  og  $\text{NO}_2$  var henholdsvis 51% og 49% av tilhørende anbefalte grenseverdier for helse. Det foreligger ikke grenseverdier for CO midlet over 6 måneder. De beregnede halvårsmidler av partikler var 18% av forslag til grenseverdi for helse. Støv fra veislitasje og naturlig støv er ikke tatt med i beregningene.

Lokale kilder i området var den viktigste bidragsyter til luftforurensninger i Vennesla vinterhalvåret 1989. Den regionale bakgrunnsbelastningen utgjorde kun 5% av midlere  $\text{SO}_2$ -nivå i det

mest belastede området i kommunen. For  $\text{NO}_2$  var andelen 12%. Blant de lokale kildene i området var industrien den helt dominerende bidragsyter til  $\text{SO}_2$ -konsentrasjoner. Biltrafikken sto for de største bidragene til  $\text{NO}_2$ - og  $\text{CO}$ -konsentrasjoner. Husoppvarming og småindustri var viktigste kilde til partikkellkonsentrasjoner, og det var vedforbruket som var årsak til mer enn 99% av partikkellkonsentrasjoner fra denne kildegruppen. Bidraget fra veistøv er ikke vurdert i rapporten.

#### Maksimale døgnmiddelkonsentrasjoner

De beregnede maksimale døgnverdiene for  $\text{SO}_2$  og  $\text{NO}_2$  var henholdsvis 17% og 73% av anbefalte forslag til nedre grenseverdi for helse. Den regionale bakgrunnsbelastningen i området kan i episoder med langtransportert forurensning være den viktigste kilden til  $\text{SO}_2$ - og  $\text{NO}_2$ -nivåene i området.

NILU har utført spredningsberegninger for  $\text{SO}_2$  og  $\text{NO}_x$  for et utvalgt døgn med dårlige spredningsforhold for kilder i bakkenivå. Disse beregningene viste at  $\text{SO}_2$ -nivået avtok med ca. 20% sammenlignet med middelverdien for vinterhalvåret, mens det maksimale  $\text{NO}_2$ -nivået økte med ca. 100%. Punktkildene i industrien var den dominerende kilden til  $\text{SO}_2$ -utslipp. Utslipp fra punktkilder med høy effektiv skorsteinshøyde gav lave konsentrasjoner i bakkenivå både ved stille kaldt vær og ved overskyet vær med sterk vind. De maksimale døgnmidlete  $\text{SO}_2$ -bidragene fra punktkilder i Vennesla vil trolig ikke overskride anbefalte grenseverdier for helse. Biltrafikken var den dominerende kilden til  $\text{NO}_x$ -utslipp. Utslipp fra biltrafikken vil i en viss grad akkumuleres i bakkenivå ved stabile atmosfæriske forhold med lave vindstyrker og liten fortynning av forurensningene.

#### Maksimale timemiddelkonsentrasjoner

Maksimale timesverdier av  $\text{SO}_2$  fra industriutslipp vil trolig ikke føre til overskridelser av grenseverdier i boligområder.

For Vigeland Metal Refinery kan det forekomme nedslag på industriområdet som gir konsentrasjoner på 100-200  $\mu\text{g}/\text{m}^3$ . Det tas forbehold om de usikkerheter som inngår i vurderingen av bygningsmassen rundt utslipp for lave kilder.

Beregning av maksimale korttidskonsentrasjoner av CO og NO<sub>2</sub> langs veinettet i beregningsområdet gav ingen overskridelser av grenseverdier for helse. De høyeste beregnede verdier var 35% av anbefalt grenseverdi for CO, og 90% av nedre grenseverdi for NO<sub>2</sub>.

Alle verdier av NO<sub>x</sub> er i denne rapporten regnet som NO<sub>2</sub>. Alle grenseverdier omtalt i rapporten gjelder helseskader.



# SPREDNINGSBEREGNINGER FOR UTSLIPP TIL LUFT I VENNESLA, VINTERHALVÅRET 1989

## 1 INNLEDNING

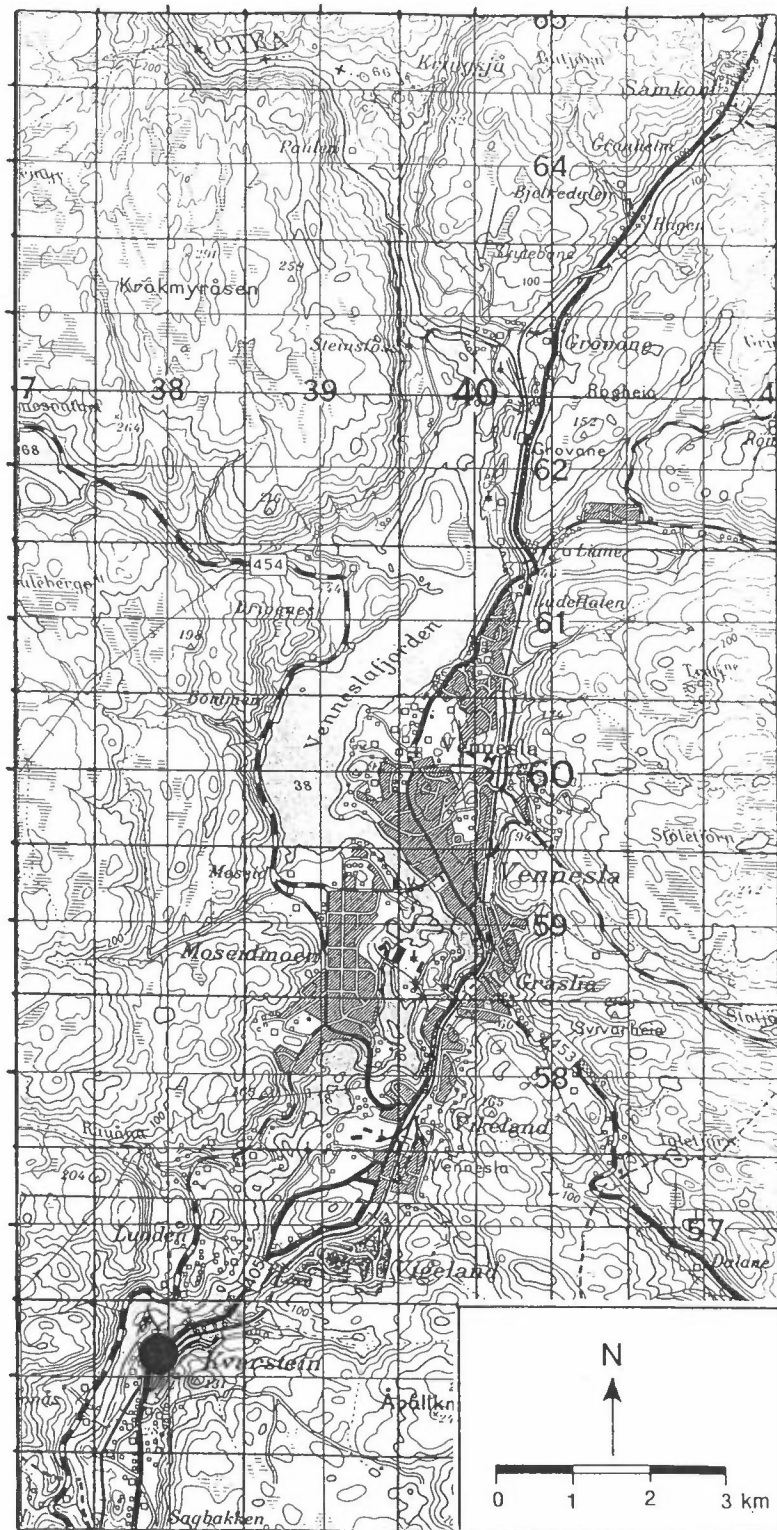
Norsk institutt for luftforskning (NILU) har beregnet middelkonsentrasjoner av stoffene  $SO_2$ ,  $NO_2$ , CO og partikler for vinterhalvåret 1989 i Vennesla. For  $SO_2$  og  $NO_2$  er det også beregnet konsentrasjoner midlet over et døgn med stabile atmosfæriske forhold og lave vindstyrker med dårlig spredning av utslipp fra lave kilder. Maksimale korttidskonsentrasjoner av CO og  $NO_2$  langs veinettet og  $SO_2$  fra industri er også presentert.

---

NILU har i samarbeid med Vennesla kommune samlet inn utslippsdata for 1989 for tre kildekategorier i beregningsområdet. Utslippsberegningene er beskrevet i egen rapport (Haugsbakk, 1991).

Ved bruk av vinddata samlet inn av NILU i 1972/73 og estimert stabilitetsfordeling (Böhler, 1984), er det beregnet halvårsmiddelverdier for vinterhalvåret for komponentene svoveldioksid ( $SO_2$ ), nitrogendioksid ( $NO_2$ ), karbonmonoksid (CO) og partikler. Beregningene er utført for de tre kildekategoriene husoppvarming/småindustri, punktkilder og biltrafikk.

NILU utfører målinger av svoveldioksid og nitrogendioksid på Birkenes. Middelkonsentrasjonene for vinterhalvåret 1989 er brukt til vurdering av den regionale bakgrunnsbelastningen som tilføres beregningsområdet fra andre områder. På Kvarstein sør i beregningsområdet utførte NILU målinger av vind i perioden 1972-73. Vindobservasjoner for perioden fra 1. oktober 1972 til 1. april 1973 ble sammen med estimerte stabilitetsfordelinger brukt som meteorologiske data til spredningsberegninger for vinterhalvåret. Figur 1 viser kartutsnitt av beregningsområdet med målesteds for meteorologi.



Figur 1: Kart over undersøkelsesområdet i Vennesla.  
● Målestasjon Kvarstein, meteorologiske data.

## 2 METODER

*Spredningsberegninger av langtidsmiddelkonsentrasjoner for vinterhalvåret er utført ved bruk av en gaussisk sektormiddelmodell. For beregning av maksimale korttidskonsentrasjoner langs veier er det brukt Nordisk Beregningsmetode for Bilavgasser (fasader) og HIWAY 2 (åpne veier) tilpasset norske forhold. Maksimale timesverdier fra industri er beregnet ved bruk av NILUs gaussiske spredningsmodeller.*

---

NILU har utført spredningsberegninger for vinterhalvåret 1989 for å beskrive konsentrasjonsfordelingen av  $\text{SO}_2$ ,  $\text{NO}_2$ , CO og partikler i området. Beregningene er basert på utslippsdata for januar, februar, mars og oktober, november, desember 1989 og meteorologiske data fra Kvarstein vinteren 1972/73.

Langtidsmiddelkonsentrasjoner betyr i denne rapporten midlerte konsentrasjoner for vinterhalvåret 1989 (januar, februar, mars og oktober, november, desember). Konsentrasjoner og bidraget fra enkeltkilder er beregnet ved gaussiske spredningsmodeller som er anvendt og utprøvet i flere områder tidligere (Gram, 1987). Beregningsmetodene er best egnet til å spesifisere bidraget fra punkt- og volumkilder når spredningsforholdene er forholdsvis homogene i området. Det er skilt mellom store enkeltutslipp (punktikilder) og utsipp fra husoppvarming, små punktkilder og biltrafikk som er jevnt fordelt i ruter (arealkilder). I spredningsberegningene fra punktutslipp er det tatt hensyn til at bygninger kan påvirke utsippet.

For beregninger av maksimalkonsentrasjoner av CO og  $\text{NO}_2$  langs gater og veier er følgende metode anvendt:

- Basert på biltrafikk (ÅDT/MAXTIME, hastighet, fordeling lette/tunge biler) og lengde på gater og veier, samt beregningsår, beregnes utsippet av CO og  $\text{NO}_x$  for rushtrafikk. Utsippet beregnes for hver veilenke (kg/time · km).

- På grunnlag av veidata og utslippsfaktorer for CO og NO<sub>x</sub>, beregnes konsentrasjoner langs veinettet ved hjelp av spredningsmodeller.
- NO<sub>2</sub>-andelen av NO<sub>x</sub> beregnes på grunnlag av kunnskap om bakgrunnsverdier og forhold mellom NO<sub>2</sub>, NO<sub>x</sub> og O<sub>3</sub>.

Avhengig av fasadedekningsgraden, benyttes forskjellige spredningsmodeller for konsentrasjonsberegninger langs veier. Det skilles mellom gater med sammenhengende fasaderekker på en eller begge sider, og gater eller veier uten tette fasaderekker. For veier med fasader anvendes Nordisk Beregningsmetode for Bilavgasser (NBB), mens det ved åpne veier anvendes en spredningsmodell (HIWAY 2) utviklet ved Environmental Protection Agency (EPA) i USA, modifisert ved NILU til å gjelde forhold ved veier i tettsteder i Norge. Dette er den samme metoden som benyttes i PC-programmet VLUFT i forbindelse med transportplan-arbeidet TP10 i Norge (Gram og Larssen, 1990; Sørlie, 1990).

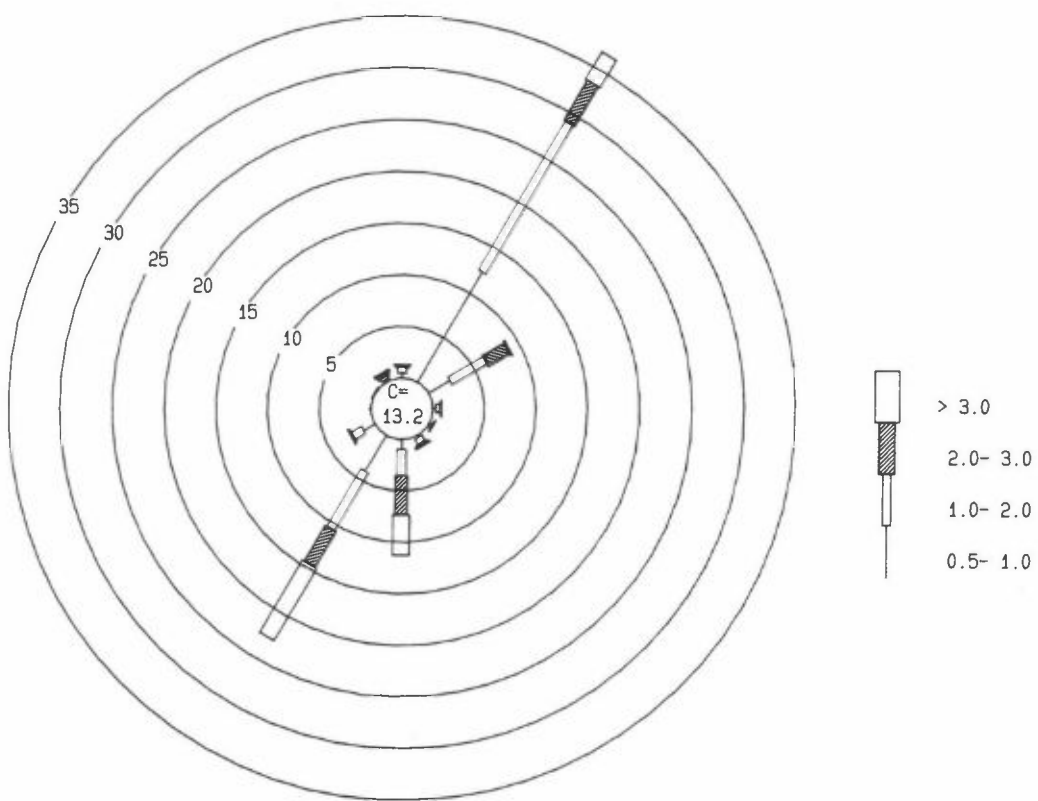
Spredningsberegningene for maksimale timeverdier fra industri er utført ved bruk av NILUs spredningsmodeller, hvor det antas at konsentrasjonsfordelingen i røykskyen er normalfordelt både horisontalt og vertikalt normalt på vindretningen (Böhler, 1987). Beregningene er utført for både ustabile, nøytrale og stabile forhold, og det er tatt hensyn til topografi og bygninger og at vindstyrken øker med høyden.

### 3 METEOROLOGISKE FORHOLD

*Vindmålinger fra Kvarstein vinteren 1972/73 ga dominerende vindretninger langs dalaksen fra omkring nord-nordøst og sør-sørvest med forekomst på henholdsvis 37% og 34% av tiden. De høyeste vindstyrkene forekom ved vinder fra sør og sør-sørvest. På grunnlag av eksisterende data har NILU estimert en stabilitetsmatrise der stabil atmosfærisk sjiktning med dårlig spredning forekom i 52% av tiden. Nøytral sjiktning, som inntreffer ved overskyet vær og sterke vinder forekom i 43% av tiden.*

---

Det ble ikke foretatt målinger av meteorologiske forhold i Vennesla vinterhalvåret 1989. Det er derfor benyttet vindmålinger utført av NILU på Kvarstein i perioden fra 1.10.1972 til 01.04.1973 (se figur 2). Da det ikke foreligger målinger av stabilitetsforholdene i området, er vinddata fra Kvarstein 1972/73 sammen med tidligere erfaringer om spredningsforhold i Sør-Norge benyttet for å utarbeide en frekvensfordeling av stabilitet og vind. Middeltemperaturen for vinterhalvåret 1972/73 var på Kjevik 4,7°C.



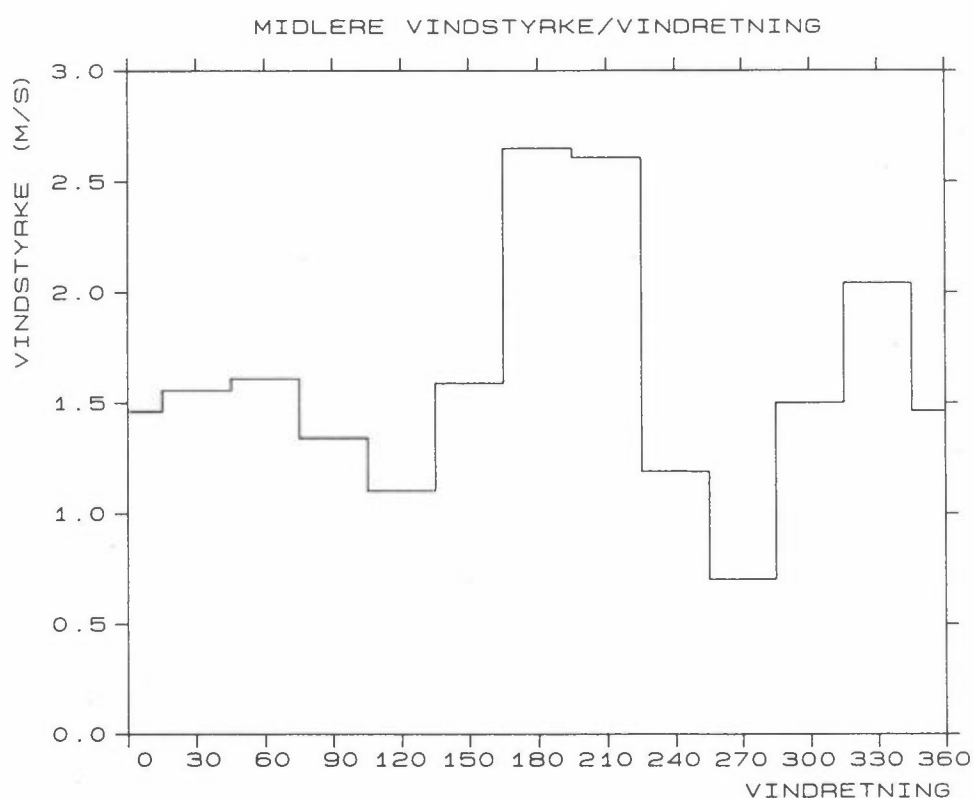
Figur 2: Vindrose fra Kvarstein, vinterhalvåret 1972/73. Windrosen viser hvor ofte det blåser fra de ulike retningene.  
C = prosent vindstille.  
Enhet: prosent.

I vinterhalvåret 1972/73 blåste det fra sør og sør-sørvest ( $165^\circ - 225^\circ$ ) 34% av tiden. Wind fra nord-nordøst ( $15^\circ - 45^\circ$ )

forekom i 37% av tiden. De høyeste vindstyrker ble observert fra sør-sørvest.

Figur 3 viser middelvindstyrken for 12 vindretninger for vin- terhalvåret 1972/73.

Tabeller med meteorologiske data, vindrosor og stabilitetsmat- riser er oppgitt i vedlegg A.



Figur 3: Middelvindstyrke for 12 vindretninger fra hele måle- perioden, oktober 1972-mars 1973.

#### 4 LANGTIDSMIDDLEKONSENTRASJONER VINTERHALVÅRET 1989

Det viktigste bidraget til midlere forurensningskonsentrasjoner i Vennesla vinterhalvåret 1989 kom fra lokale kilder i området. Langtransportert  $SO_2$  utgjorde kun 5% av maksimal middelkonse- ntrasjon i beregningsområdet mens langtransportert  $NO_x$  utgjorde 25% av beregnede maksimalkonsentrasjoner av  $NO_2$ . Blant de

lokale kildene var industrien den helt dominerende bidragsyter til  $SO_2$ -konsentrasjoner. Biltrafikken sto for de største bidragene til  $NO_2$ - og  $CO$ -konsentrasjoner. Husoppvarming og småindustri var viktigste kilde til partikkellkonsentrasjoner, og der var det vedforbruket som var årsak til over 99% av dette. Maksimale beregnede halvårsmidler for  $SO_2$  og  $NO_2$  var henholdsvis 51% og 49% av tilhørende anbefalte grenseverdier.

---

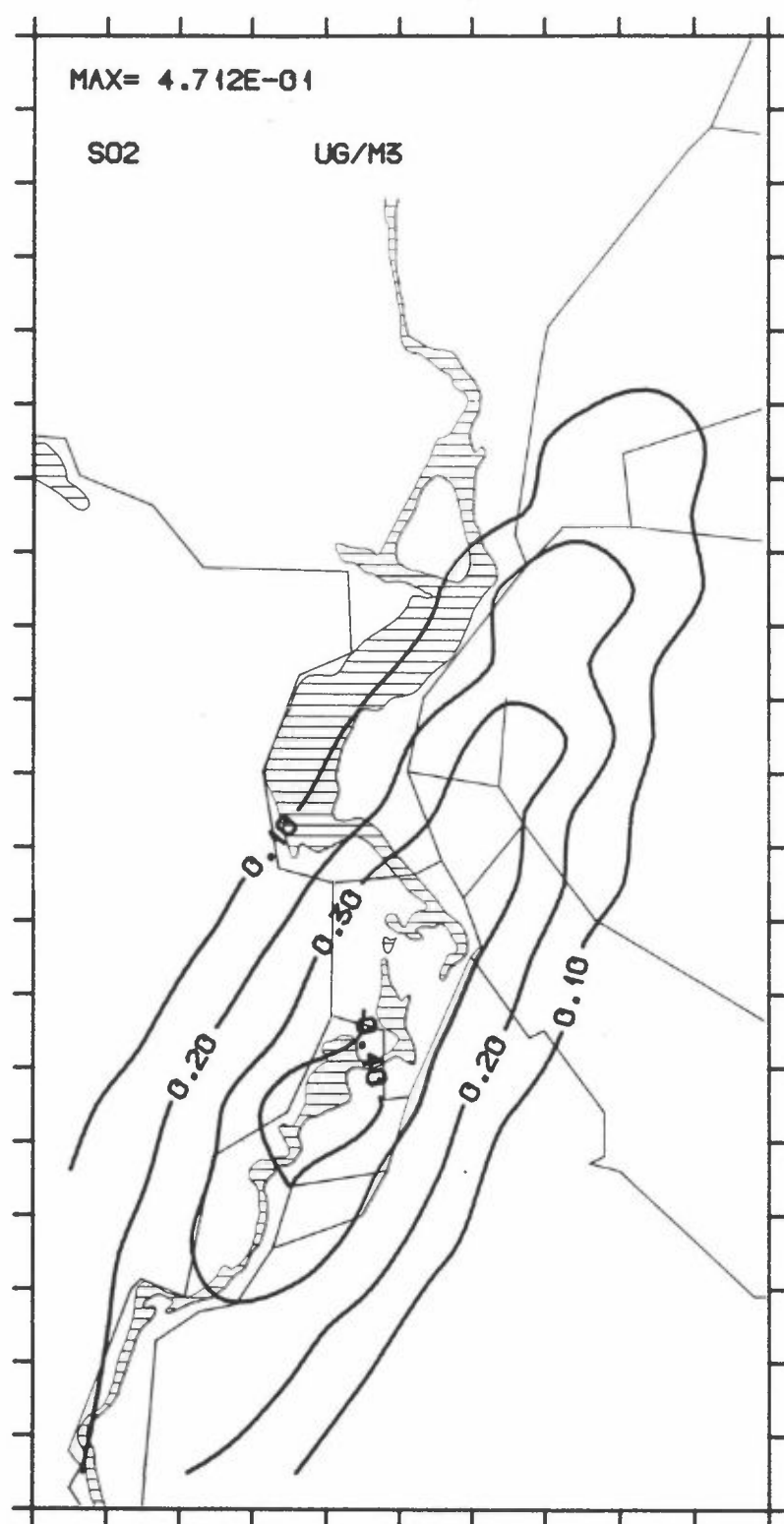
#### 4.1 BIDRAG FRA HUSOPPVARMING OG SMÅINDUSTRI

Kildeguppen husoppvarming og småindustri var viktigste bidragsyter til partikkellkonsentrasjoner i lufta i Vennesla vinteren 1989. Vedforbruket var årsak til ca. 99% av partikkellkonsentrasjoner fra denne kildegruppen. Beregnete maksimalkonsentrasjoner av  $CO$  fra husoppvarming og småindustri var ca. 20% av bidraget fra biltrafikken, som var viktigste bidragsyter til  $CO$ -konsentrasjoner i området. Også for  $CO$  var vedforbruket årsak til ca. 99% av konsentrasjonene fra denne kildegruppen. Bidraget til belastninger fra øvrige komponenter ( $SO_2$  og  $NO_2$ ) fra denne kildegruppen var minimalt.

---

Arealkildene omfattet relativt små fyringsutslipp og små industriutslipp med piper som hadde utslipp i bygningens turbulenssone. Bidraget fra denne kildegruppen er beregnet på grunnlag av middelutslipp i 500 m x 500 m ruter. Ved beregning av kildegruppens bidrag til konsentrasjoner av de ulike luftforurensende komponenter er det benyttet spredningsparametre representative for spredning over tettsteder.

Figur 4 viser den beregnede konsentrasjonsfordelingen for svoveldioksid fra husoppvarming og småindustri. Det er svært lave middelkonsentrasjoner av  $SO_2$  som følge av husoppvarming og småindustri. Maksimalverdien for 500 m x 500 m rute midlet over vinterhalvåret var under 1  $\mu\text{g}/\text{m}^3$ . Bakgrunnsnivået (langtransporterte forurensninger) var til sammenligning 0,9  $\mu\text{g}/\text{m}^3$  (målt på Birkenes). De andre komponentene gir noenlunde samme fordeling, som vist på figur 4.



Figur 4: Beregnede middelkonsentrasjoner av SO<sub>2</sub> for vinterhalvåret 1989 fra husoppvarming og småindustri.  
Enhet:  $\mu\text{g}/\text{m}^3$  for isolinjene 0.1, 0.2, 0.3 og 0.4.

Maksimalkonsentrasjoner innen en rute for alle komponenter med tilhørende rutenummer for ruta er gitt i tabell 1.

Tabell 1: Beregnede maksimale middelkonsentrasjoner fra husoppvarming og småindustri i Vennesla, vinterhalvåret 1989. Rute med maksimal konsentrasjon er oppgitt i parentes.

Enhett:  $\mu\text{g}/\text{m}^3$ .

	Maksimal konsentrasjon (Rutenr.)
SO <sub>2</sub>	0,47 (4,6)
NO <sub>2</sub>	0,64 (8,13)
CO	40,07 (6,9)
Partikler	4,30 (7,11)

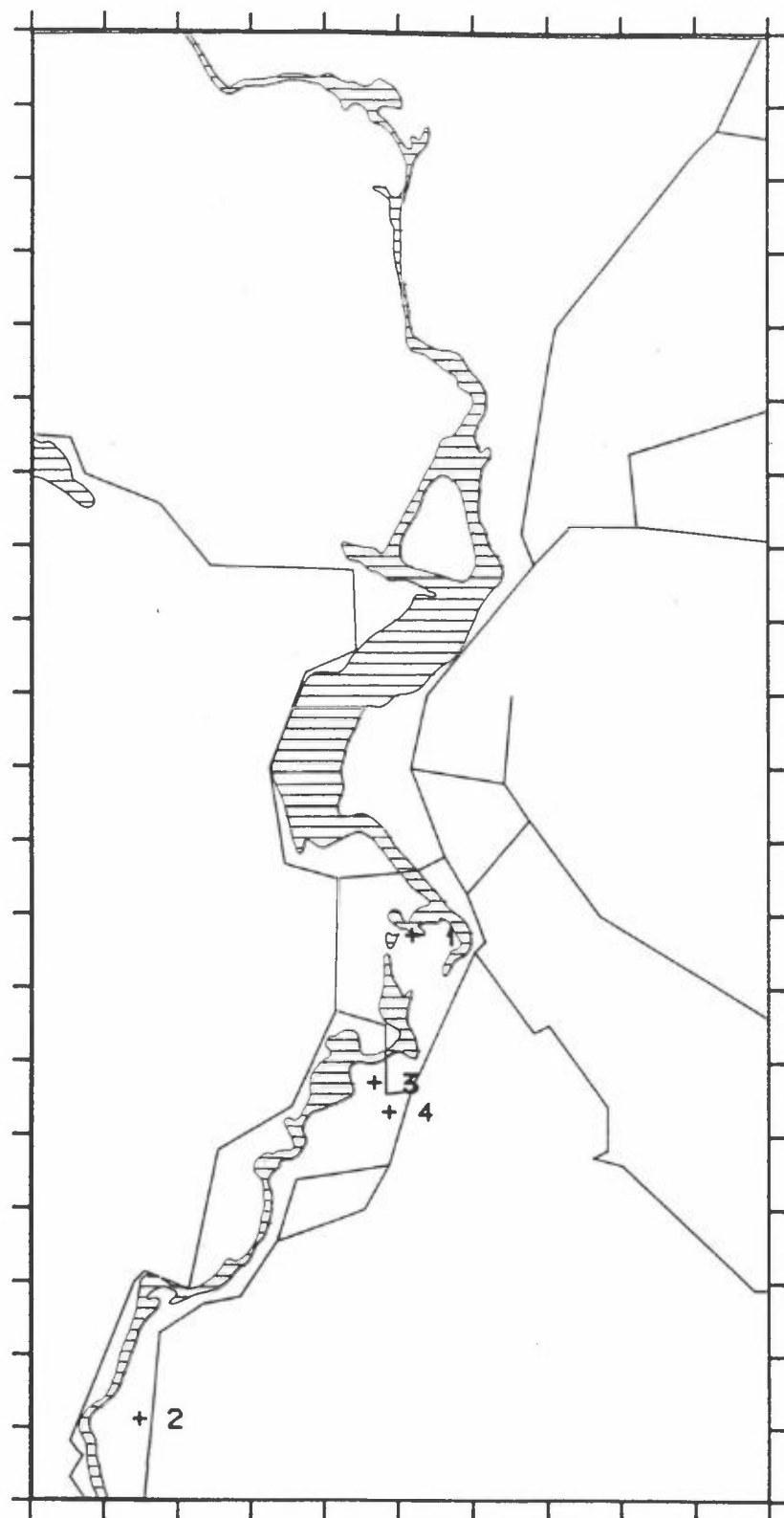
Vedlegg B (figur B1-B4) viser bidraget av ulike komponenter (SO<sub>2</sub>, NO<sub>2</sub>, CO og partikler).

#### 4.2 BIDRAG FRA PUNKTKILDER

Kildegruppen punktkilder hadde de klart største bidragene til konsentrasjoner av SO<sub>2</sub>, og var den nest viktigste bidragsyter til NO<sub>2</sub>-konsentrasjoner og partikkellkonsentrasjoner. CO-utslipene fra punktkildene ga ubetydelige konsentrasjoner.

---

Figur 5 viser lokaliseringen av punktkildene og tabell 2 gir de viktigste utslippsdata for punktkildene. Tabellen viser at Hunsfos Fabriker A/S var den helt dominerende kilden for SO<sub>2</sub>-utsipp, mens Norsk Wallboard A/S hadde de største utslipene av NO<sub>x</sub>, CO og partikler.



Figur 5: Punktkilder i Vennesla.

- 1) Hunsfos Fabriker A/S
- 2) Kvarstein Gartneri
- 3) Vigeland Metal Refinery A/S
- 4) Norsk Wallboard A/S

Tabell 2: Punktkilder i Vennesla. Tabellen gir koordinatfestet plassering i UTM-systemet, pipehøyde (PH), pipediameter (PD), avgasstemperatur (GT), avgasshastighet (GW) og utslippsmengder av de ulike komponenter.

Kilde	UTM-koordinater x      y		PH (m)	PD (m)	GT (°C)	GW (m/s)	SO <sub>2</sub> (kg/h)	NO <sub>x</sub> * (kg/h)	CO (kg/h)	Partikler (kg/h)
Hunsfos Fabrikker A/S	39.55	58.80	90,0	2,20	60	4,4	30,00	3,89	0,11	0,15
Kvarstein Gartneri	37.70	55.50	10,0	0,40	50	1,0	0,18	0,12	0,11	0,11
Vigeland Metal Refinery A/S	39.30	57.80	16,0	0,35	800	3,9	3,44	0,89	0,03	0,27
Norsk Wallboard A/S	39.40	57.60	24,5	0,45	170	14,1	2,86	4,32	0,65	1,38
Sum							36,48	9,22	0,90	1,81

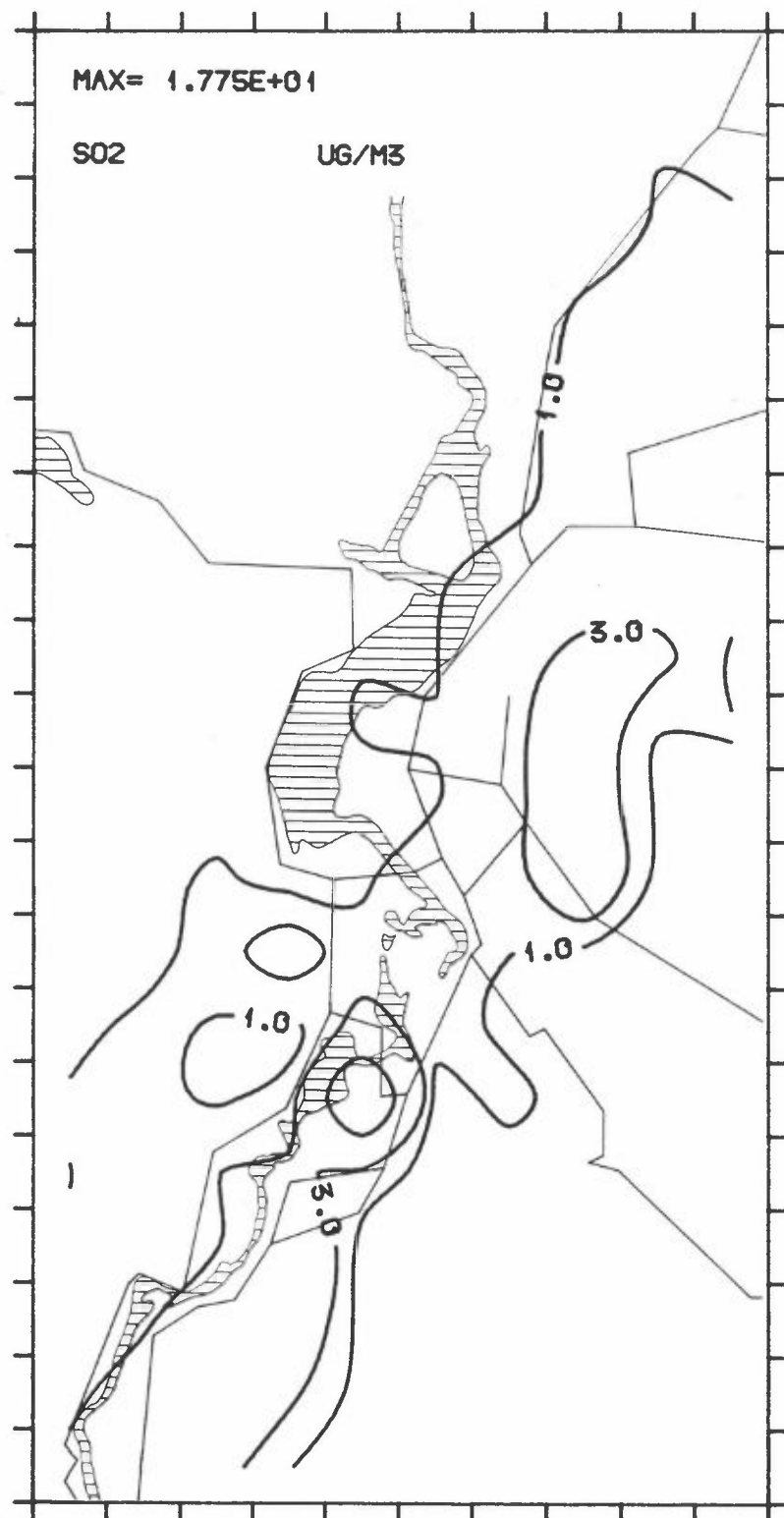
\* regnet som NO<sub>2</sub>.

Ved beregning av konsentrasjoner fra punktkilder er det brukt ulike sett med spredningsparametre for høye og lave skorsteiner. I beregningene har vi tatt hensyn til topografiske forhold ved å bruke middelhøyden i hver 500 m x 500 m-rute i beregningsområdet. Opplysningene om de enkelte punktkildene bygger på besvarte spørreskjema fra bedriftene, og opplysninger gitt pr. telefon.

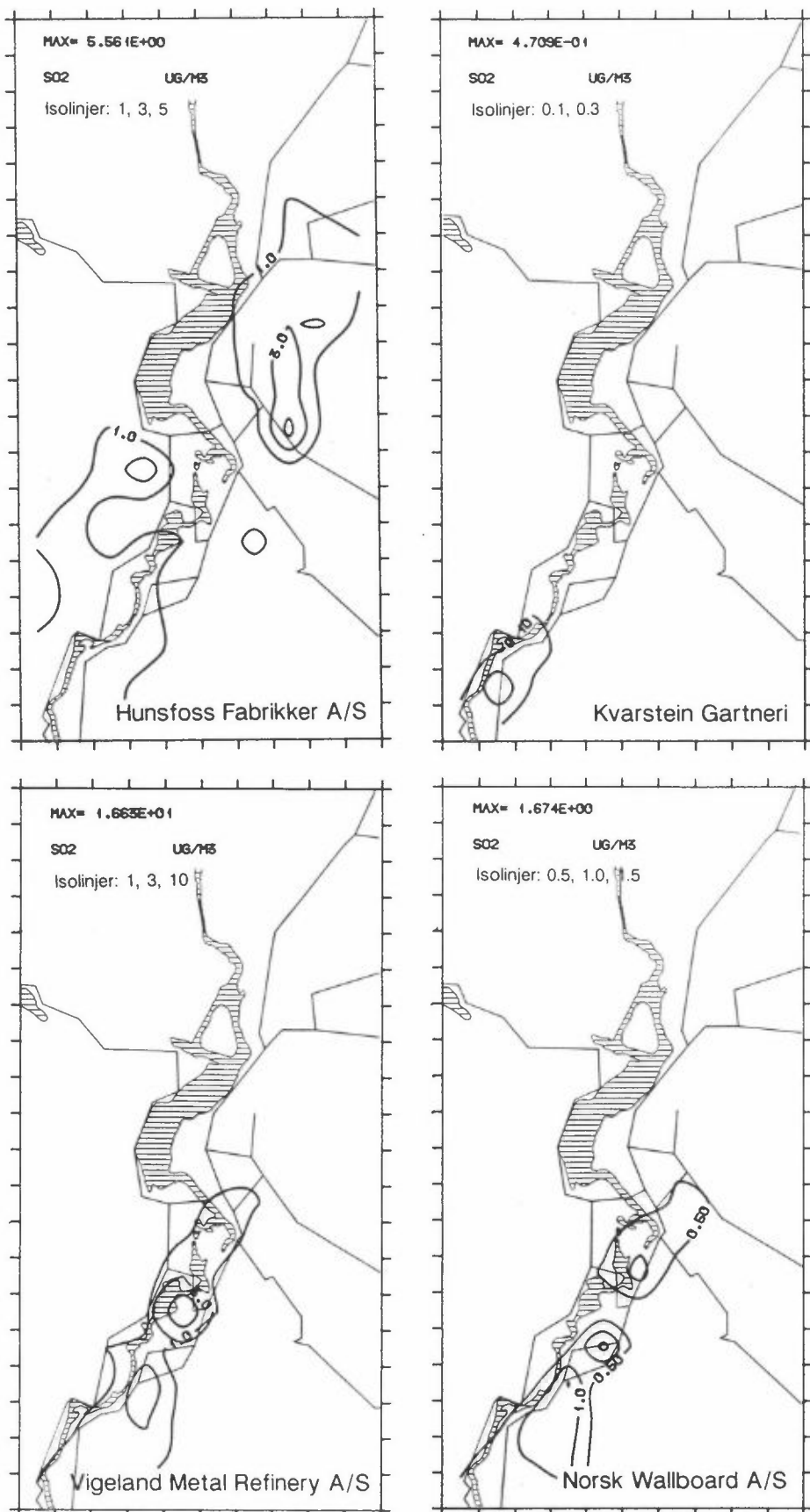
Konsentrasjonsfordeling for SO<sub>2</sub> fra punktkildene for vinterhalvåret er vist i figur 6 og for alle komponenter i vedlegg B (figur B5-B8). Beregningene for svoveldioksid for vinterhalvåret gav høyest konsentrasjon 17,7 µg/m<sup>3</sup> ved Vigeland Metal Refinery A/S. Hunsfos Fabrikker har de største utslippene, men med en pipehøyde på 90 m vil bidraget fra denne kilden bli vesentlig redusert i bakkenivå. De høyeste bidragene fra Hunsfos Fabrikker, 5,6 µg/m<sup>3</sup>, vil en få rett øst-nordøst for bedriften, utenfor bebyggelsen.

Bidraget fra de øvrige punktkilder til SO<sub>2</sub>-konsentrasjon i området var av mindre betydning.

Den høye skorsteinen på Hunsfos Fabrikker gjør at denne kildens bidrag til andre forurensningskonsentrasjoner også blir små.



Figur 6a: Beregnede middelkonsentrasjoner av  $\text{SO}_2$  for vinterhalvåret 1989 fra punktkilder.  
Enhet:  $\mu\text{g}/\text{m}^3$  for isolinjene 1, 3 og 10.



Figur 6b: De enkelte punktkilders bidrag til middelkonsentrasjoner av  $\text{SO}_2$  for vinterhalvåret 1989.  
Enhet:  $\mu\text{g}/\text{m}^3$ .

Da de tre øvrige kildene har utslipp i lav høyde, vil utslippsmengden (se tabell 2) avgjøre hvem av dem som er den viktigste bidragsyter til konsentrasjoner av  $\text{NO}_x$ , CO og partikler.

Tabell 3 viser kildegruppens bidrag til konsentrasjoner av luftforurensende komponenter. Noen av kildene har ikke full virksomhet ut over vanlig arbeidstid, og bidraget fra punktkildene vil derfor vanligvis være høyere på dagtid.

Tabell 3: Beregnede maksimale middelkonsentrasjoner fra punktkilder i Vennesla, vinterhalvåret 1989. Rute med maksimal konsentrasjon er oppgitt i parentes.  
Enhet:  $\mu\text{g}/\text{m}^3$ .

	Maksimal konsentrasjon (Rutenr.)
$\text{SO}_2$	17,75 (5,6)
$\text{NO}_2$	4,57 (5,6)
CO	0,52 (2,2)
Partikler	1,35 (5,6)

Tabell 4 viser de enkelte punktkilders bidrag til konsentrasjoner av  $\text{SO}_2$  og  $\text{NO}_2$ .

Tabell 4: Beregnede maksimale middelkonsentrasjoner av  $\text{SO}_2$  og  $\text{NO}_2$  fra de enkelte punktkilder i Vennesla, vinterhalvåret 1989.  
Enhet:  $\mu\text{g}/\text{m}^3$ .

	Maksimalt bidrag til $\text{SO}_2$ -konsentrasjon	Maksimalt bidrag til $\text{NO}_2$ -konsentrasjon
Hunsfos Fabrikker A/S	5,56	0,72
Kvarstein Gartneri	0,47	0,31
Norsk Wallboard A/S	1,67	2,53
Vigeland Metal Refinery A/S	16,63	4,30
Alle punktkilder	17,75	4,57

#### 4.3 BIDRAG FRA BILTRAFIKKEN

Kildegruppen biltrafikk hadde de største bidragene til konsentrasjoner av  $NO_2$  og CO. De høyeste konsentrasjonene forekom langs riksvei 405 fra Kvarstein til avkjørselen til riksvei 454.  $SO_2$ - og partikkelutsippene ga begge lave konsentrasjonsbidrag fra denne kildegruppen. En viktig kilde til partikler og støv er veislitasje og oppvirvling av støv. Disse forhold er ikke tatt i betraktnsing.

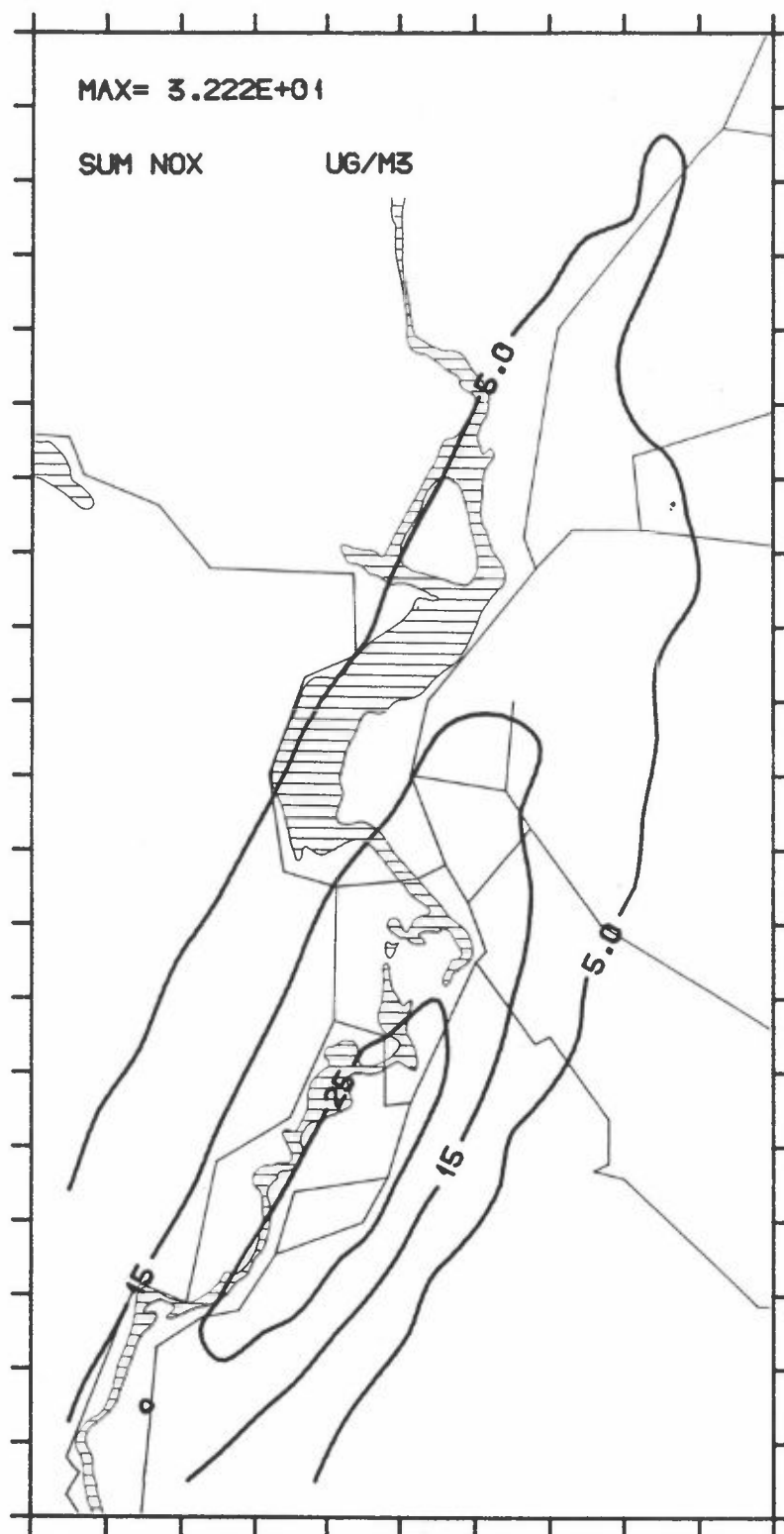
---

Bidraget fra denne kildegruppen er beregnet på grunnlag av middelutslipp i 500 m x 500 m ruter basert på trafikkarbeidet, som er produkt av veilengder og årsdøgntrafikk i ruta. Figur 7 viser resultatet av spredningsberegningene for utslipp av  $NO_x$  fra biltrafikk. Resultatet av beregningene for alle komponentene er gitt i vedlegg B (figur B9-B12).

Tabell 5 viser kildegruppens bidrag til konsentrasjoner av luftforurensende komponenter.

Tabell 5: Beregnede maksimale middelkonsentrasjoner fra biltrafikk i Vennesla, vinterhalvåret 1989. Rute med maksimal konsentrasjon er oppgitt i parentes.  
Enhet:  $\mu\text{g}/\text{m}^3$ .

	Maksimal konsentrasjon (Rutenr.)
$SO_2$	1,47 (5,5)
$NO_2$	32,22 (5,5)
CO	225,78 (5,5)
Partikler	1,43 (5,5)



Figur 7: Beregnede middelkonsentrasjoner av  $\text{NO}_2$  for vinterhalvåret 1989 fra biltrafikk.  
Enhet:  $\mu\text{g}/\text{m}^3$  for isolinlene 5, 15 og 25.

#### 4.4 SAMLET BIDRAG FRA ALLE KILDEGRUPPER

De lokale kildegruppene var de viktigste bidragsytere til koncentrasjoner av luftforurensende komponenter midt over vinterhalvåret. Langtransportert  $SO_2$  utgjorde kun 5% av de beregnede maksimalkonsentrasjoner, og var av liten betydning. Langtransportert  $NO_x$  utgjorde 12% av beregnede maksimalkonsentrasjoner av  $NO_2$ , og det tilsvarer 94% av maksimale konsentrasjoner fra industrien. Langtransportert  $NO_x$  er jevnt fordelt over området og var derfor av større betydning enn bidraget fra industrien. Blant de lokale kildegruppene var industrien viktigste bidragsyter til  $SO_2$ -konsentrasjoner. Biltrafikken var den viktigste kilden til  $NO_2$ - og CO-nivået. Husoppvarming og småindustri, og spesielt vedforbruket, var viktigste bidragsyter til partikkellkonsentrasjoner i Vennesla. Maksimale beregnede halvårsmiddelverdier for  $NO_2$  var 49% av anbefalt grenseverdi, mens den for  $SO_2$  var 51% av forslag til nedre grenseverdi.

---

Ved å summere de enkelte kildegruppene og legge til en bakgrunnsverdi får vi den samlede konsentrasjon av de enkelte forurensende komponenter. Maksimalbidragene fra de ulike kildegruppene, som vist i tabell 6, opptrer ikke i samme ruter, slik at den totale maksimalbelastningen for en komponent er mindre enn summen av maksimalbelastningen fra de enkelte kildegruppene.

Bakgrunnsverdier for  $SO_2$  og  $NO_2$  som er lagt til beregningene er middelverdier av måleresultater fra Birkenes vinterhalvåret 1989. Det er ikke grunnlag for å sette opp bakgrunnsverdier for CO og partikler. Tabell 6 viser at bakgrunnsbelastningen av  $SO_2$  har liten betydning i området, idet den utgjør kun 5% av de beregnede maksimalkonsentrasjoner.  $NO_x$  transportert til området utgjorde 12% av de beregnede maksimalkonsentrasjoner. Maksimale beregnede halvårsmidler for  $SO_2$  og  $NO_2$  ble henholdsvis 51% og 49% av nedre verdi for tilhørende anbefalte grenseverdier (SFT, 1982) gitt i vedlegg C.

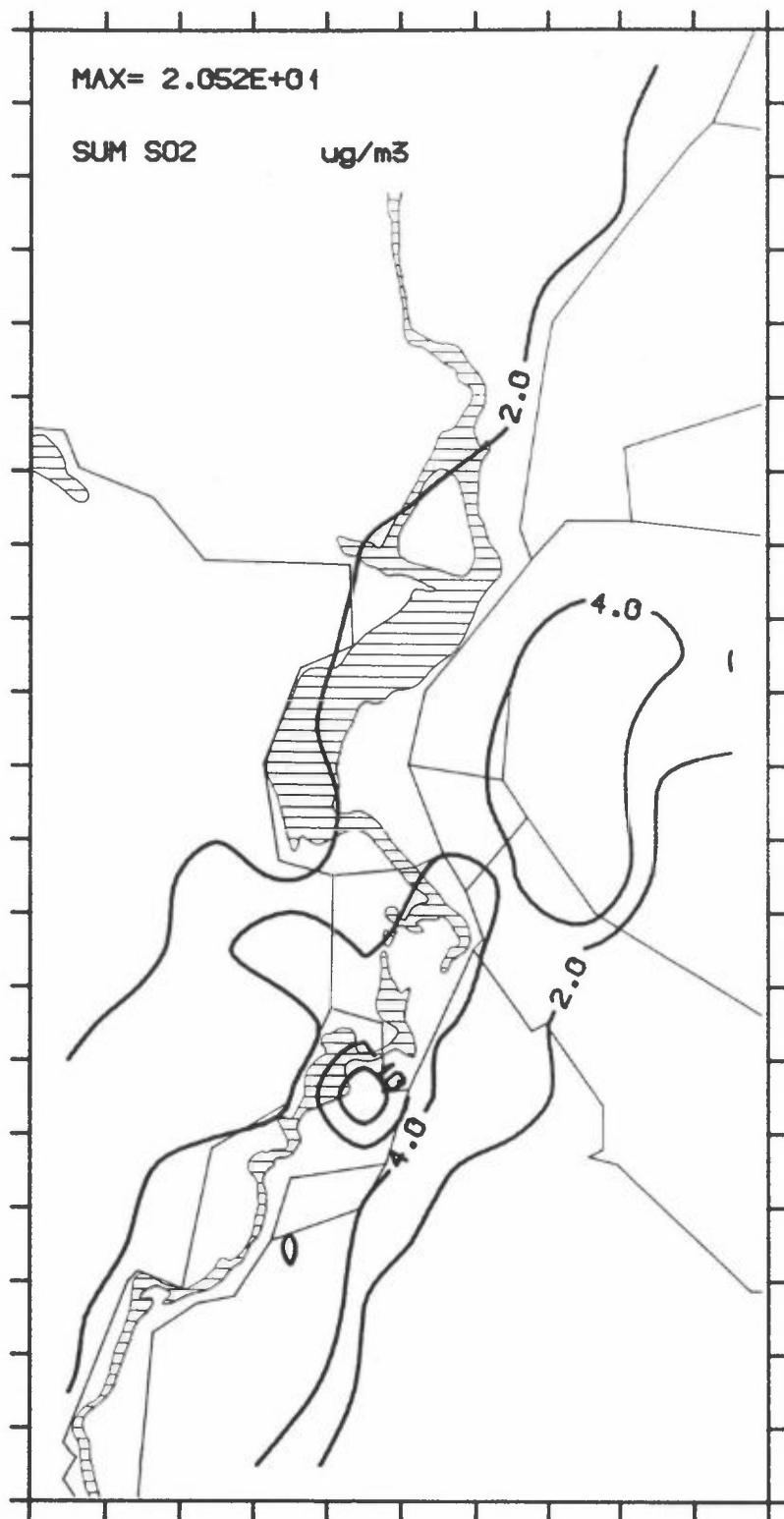
Tabell 6: Beregnede totale maksimalkonsentrasjoner, samt bidraget fra de ulike kildegrupper i Vennesla, vinterhalvåret 1989. Rute med maksimalkonsentrasjon er gitt i parentes.  
Enhet:  $\mu\text{g}/\text{m}^3$ .

	Maksimal konsentrasjon (Rutenr.)			
	SO <sub>2</sub>	NO <sub>2</sub>	CO	Partikler
Husoppvarming og småindustri	0,47 (4,6)	0,64 (8,13)	40,07 (6,9 )	4,30 (7,11)
Punktkilder	17,75 (5,6)	4,57 (5,6 )	0,52 (2,2 )	1,35 (5,6 )
Biltrafikk	1,47 (5,5)	32,22 (5,5 )	225,78 (5,5 )	1,43 (5,5 )
Bakgrunn	1,0	4,3	-	-
Totalt	20,52 (5,6)	36,38 (5,5 )	265,85 (5,5 )	7,39 (5,5 )

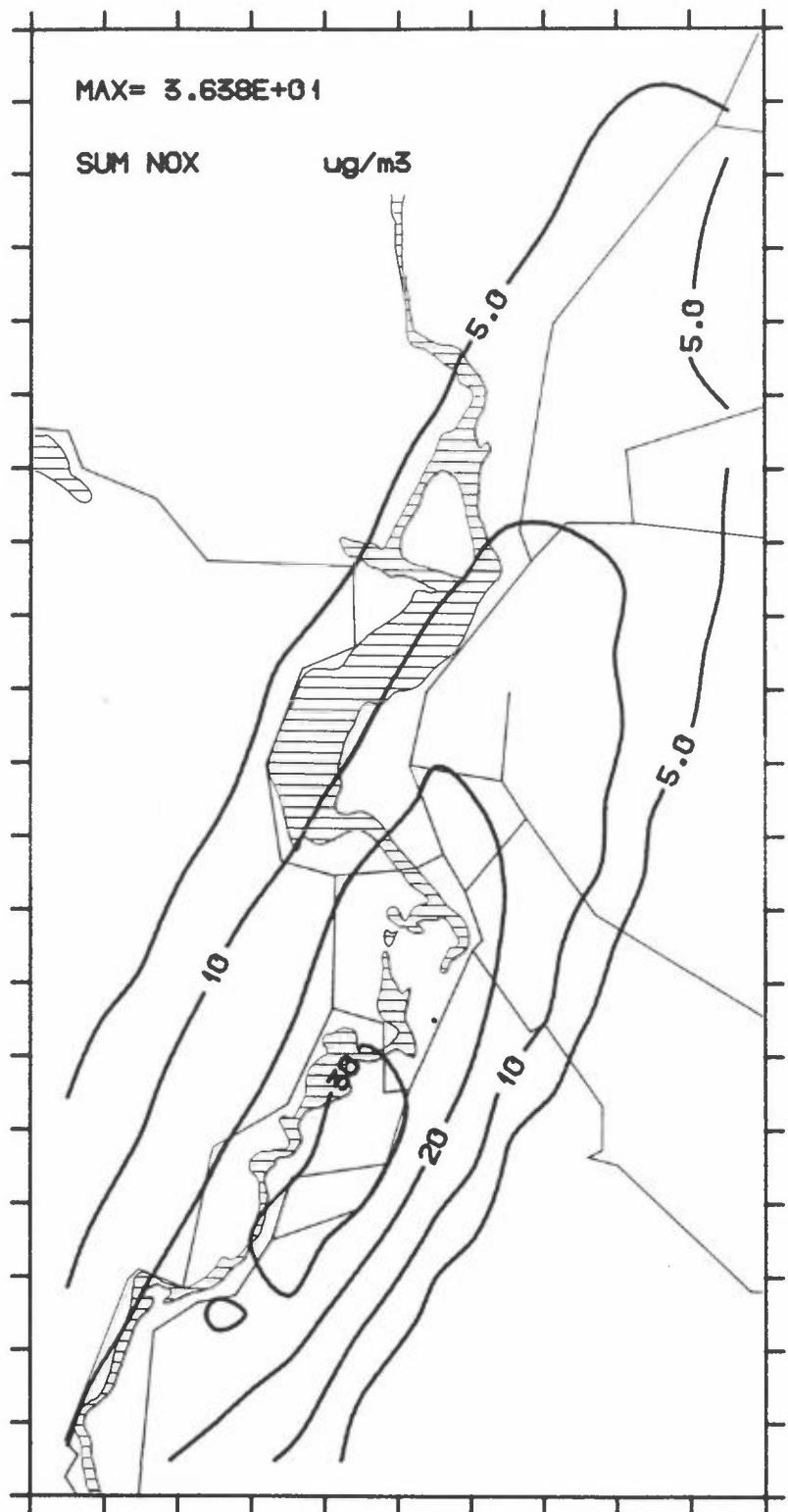
Figur 8 viser beregnede middelkonsentrasjoner av SO<sub>2</sub> fra alle kildegrupper for vinterhalvåret.

Figur 9 viser beregnede middelkonsentrasjoner av NO<sub>2</sub> fra alle kildegrupper for vinterhalvåret.

Vedlegg B (figur B13-B16) viser totalt bidrag til alle komponenter, SO<sub>2</sub>, NO<sub>2</sub>, CO og partikler.



Figur 8: Beregnede middelkonsentrasjoner av  $\text{SO}_2$  fra alle kildegrupper i Vennesla, vinterhalvåret 1989. Bakgrunnsbelastning  $1,0 \mu\text{g}/\text{m}^3$  er lagt til.  
Enhet:  $\mu\text{g}/\text{m}^3$  langs isolinjene 2, 4, 10 og 15.



Figur 9: Beregnede middelkonsentrasjoner av  $\text{NO}_2$  fra alle kildegrupper i Vennesla, vinterhalvåret 1989. Bakgrunnsbelastning 4,3  $\mu\text{g}/\text{m}^3$  er lagt til.  
Enhet:  $\mu\text{g}/\text{m}^3$  langs isolinjene 5, 10, 20 og 30.

## 5 DØGNMIDDELKONSENTRASJONER I ET UTVALGT DØGN

I et vinterdøgn med dårlige spredningsforhold for kilder i bakkenivå avtok  $SO_2$ -nivået i maksimumsområdet med ca. 20% sammenlignet med middelverdien for vinterhalvåret, mens det maksimale  $NO_2$ -nivået økte med ca. 100%. Punktkildene var den dominerende kilden til  $SO_2$ -utsipp. Utsipp fra punktkilder med høy effektiv skorsteinshøyde hadde ved stille, kaldt vær vanskeligere for å slå ned i bakkenivå ved stabile atmosfæriske forhold. Biltrafikken var den dominerende kilden til  $NO_x$ -utsipp. Utsipp fra biltrafikken vil akkumuleres i bakkenivå ved stabile atmosfæriske forhold med lave vindstyrker da fortynningen er liten. De beregnede maksimale døgnverdiene for  $SO_2$  og  $NO_2$  ble henholdsvis 17% og 73% av anbefalte forslag til nedre grenseverdi.

Bakgrunnsbelastningen som skyldes langtransportert forurensning kan i episoder være den viktigste kilden til  $SO_2$ - og  $NO_2$ -konsentrasjoner i området.

---

Vi har valgt ut et vinterdøgn med dårlige spredningsforhold for kilder i bakkenivå. Slike situasjoner har vi i kalde klarværssperioder med svak vind og stor utstråling fra bakken. Vi får da stabile atmosfæriske forhold, også kalt inversjonsforhold. Stabilitetsmatrisen med svake vinder fra nordlig kant er vist i vedlegg A. Tabell 7 viser de beregnede døgnmiddelkonsentrasjoner fra de ulike kildegrupper for dette døgnet.

Figur 10 viser bidraget fra punktkilder til  $SO_2$ -konsentrasjoner i et vinterdøgn med lave vindstyrker og stabil sjiktning. Figur 11 viser totale  $SO_2$ -konsentrasjoner midlet over døgnet for alle kildegrupper. Tilsvarende viser figur 12 bidragene til  $NO_2$ -konsentrasjoner fra biltrafikk, og figur 13 de totale  $NO_2$ -konsentrasjoner midlet over døgnet fra alle kildegrupper.

Resultatene viser at bidraget fra utsippene i bakkenivå øker betydelig sammenlignet med halvårsmiddelverdiene. Både for  $SO_2$

Tabell 7: Beregnede døgnmiddelkonsentrasjoner av  $\text{SO}_2$  og  $\text{NO}_2$  fra alle kildegrupper i et vinterdøgn med lave vindstyrker og stabil sjiktning. I parentes er det oppgitt rute med maksimal konsentrasjon.  
Enhet:  $\mu\text{g}/\text{m}^3$ .

	Maksimal konsentrasjon (Rutenr.)	
	$\text{SO}_2$	$\text{NO}_2$
Husoppvarming og småindustri	1,09 (5,6)	1,26 (5,5)
Punktkilder	11,98 (4,4)	6,08 (2,1)
Biltrafikk	3,10 (5,5)	68,15 (5,5)
Bakgrunn	1,0	4,3
Totalt	16,67 (4,4)	73,04 (4,3)

og  $\text{NO}_2$  blir bidraget i maksimumsområdene for biltrafikk og husoppvarming/småindustri mer enn doblet. For punktkildene vil  $\text{SO}_2$ -bidraget i maksimumsområdet avta med 32% og  $\text{NO}_x$ -bidraget avta med 25%. Tabell 8 viser bidraget fra punktkilder til konsentrasjoner av  $\text{SO}_2$  og  $\text{NO}_2$ .

Tabell 8: Beregnete maksimale middelkonsentrasjoner av  $\text{SO}_2$  og  $\text{NO}_2$  fra de enkelte punktkildene i Vennesla i et vinterdøgn med lave vindstyrker og stabil sjiktning. Tallene i parentes viser tilsvarende bidrag for vinthalvåret.  
Enhet:  $\mu\text{g}/\text{m}^3$ .

	Maksimalt bidrag til $\text{SO}_2$ -konsentrasjon	Maksimalt bidrag til $\text{NO}_2$ -konsentrasjon
Hunsfos Fabrikker A/S	4,45 (5,56)	0,58 (0,72)
Kvarstein Gartneri	3,49 (0,47)	2,32 (0,31)
Norsk Wallboard A/S	2,05 (1,67)	3,10 (2,53)
Vigeland Metal Refinery A/S	10,11 (16,63)	2,61 (4,30)
Alle punktkilder	11,98 (17,75)	6,08 (4,57)

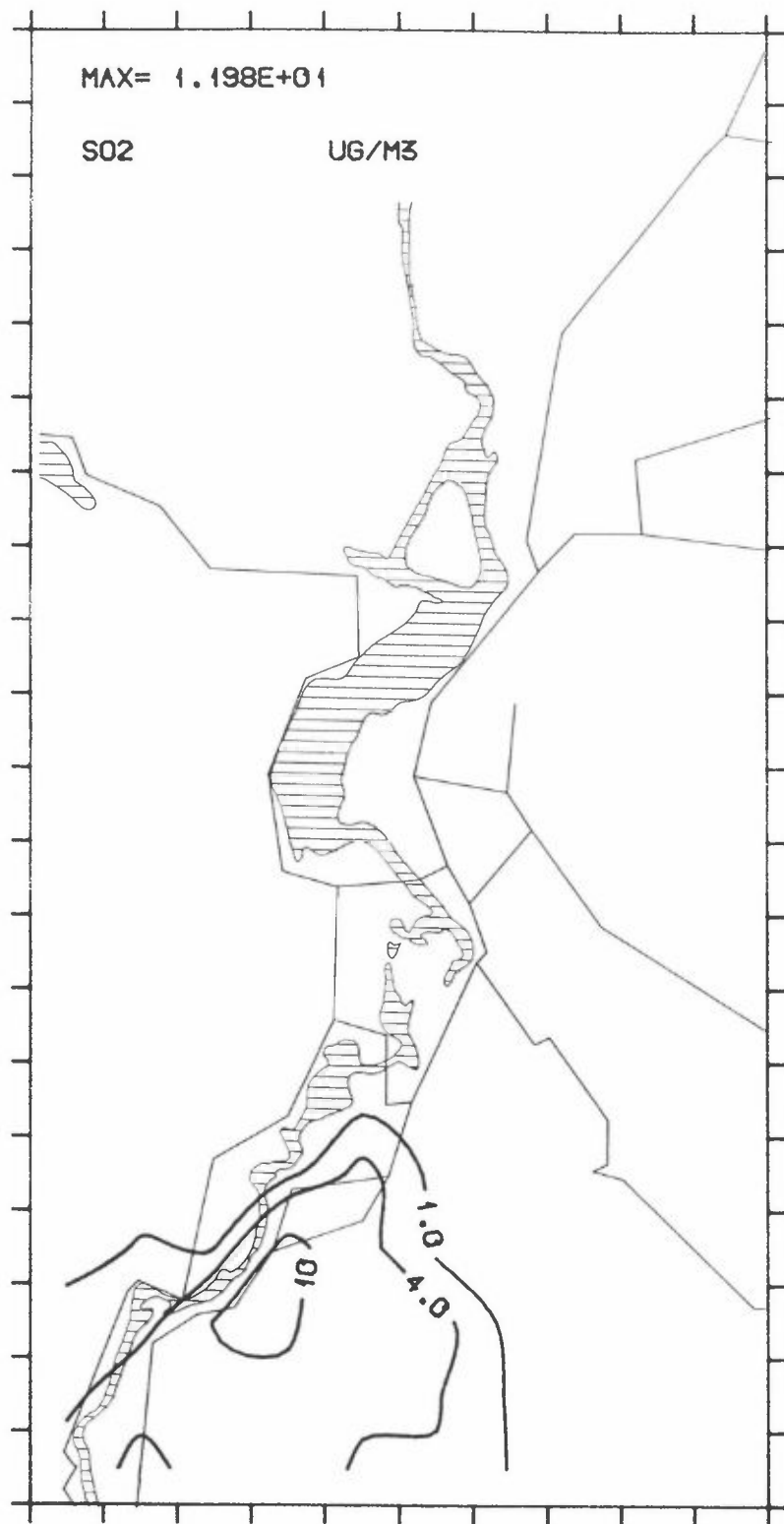
Tabellen viser at punktkildene med høy skorstein (Hunsfos Fabrikker A/S, 90 m skorstein), eller med høy effektiv skorsteinshøyde på grunn av røykløft (Vigeland Metal Refinery A/S,

med 800°C i røykutsippet), vil gi lavere maksimalkonsentrasjoner og som oftest også lavere totalbidrag til luftforurensning i bakkenivå i et kaldt døgn med stabile atmosfæriske forhold. De øvrige kilder i området med lave skorsteiner og/eller dårlig røykløft vil gi større bidrag til luftforurensning i bakkenivå på kalde dager med stabile atmosfæriske forhold.

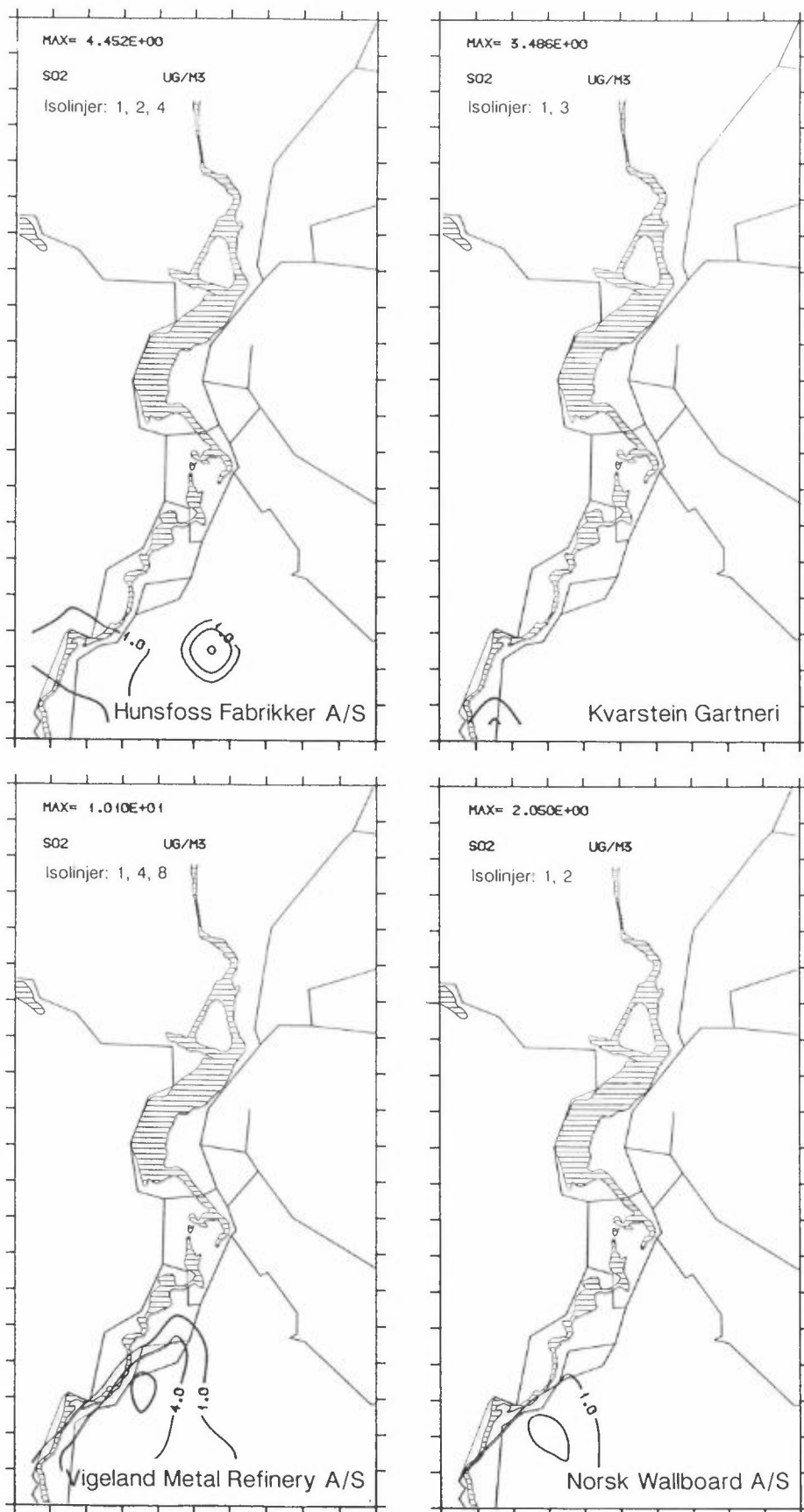
De beregnede maksimale døgnverdiene for SO<sub>2</sub> og NO<sub>2</sub> ble henholdsvis 17% og 73% av anbefalte forslag til nedre grenseverdi gitt i vedlegg C.

Siden utslipp fra punktkilder med høy effektiv skorsteinshøyde har vanskelig for å slå ned i bakkenivå ved stabile atmosfæriske forhold, har vi også sett på spredning fra denne kildegruppen ved andre meteorologiske forhold. Beregninger viser at ved nøytral sjiktning og sterk vind vil punktkildene trolig ikke overskride anbefalte grenseverdier for helse.

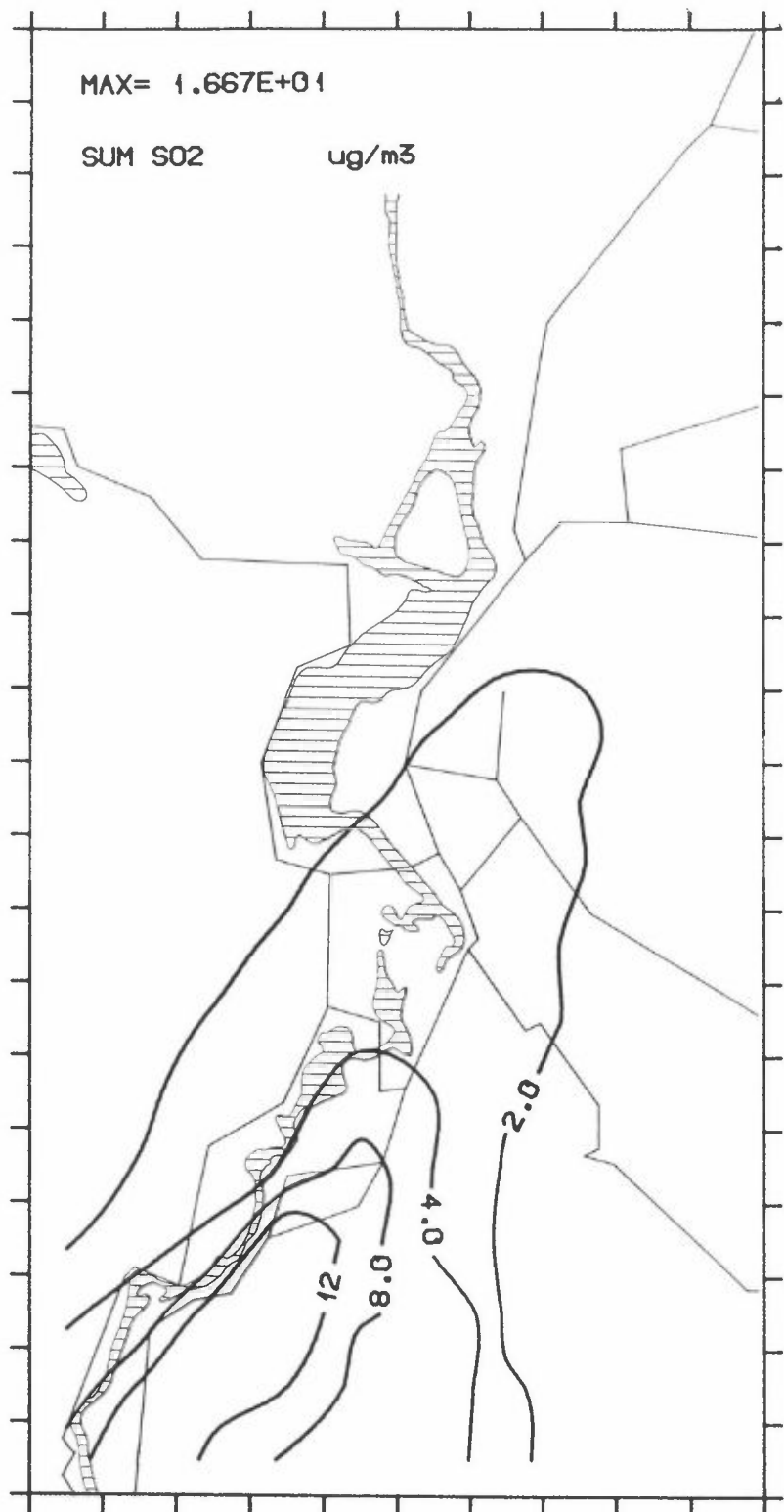
Bakgrunnsbelastningen i området kan i episoder med langtransportert forurensning være den viktigste kilden til SO<sub>2</sub>- og NO<sub>2</sub>-konsentrasjoner i området. Vi kan her nevne at bakgrunnsbelastningen målt på Birkenes 10.-11. februar 1989 var 13,2 µg SO<sub>2</sub>/m<sup>3</sup> og 22,0 µg NO<sub>2</sub>/m<sup>3</sup>, og temperaturen var da +6°C på Kjevik.



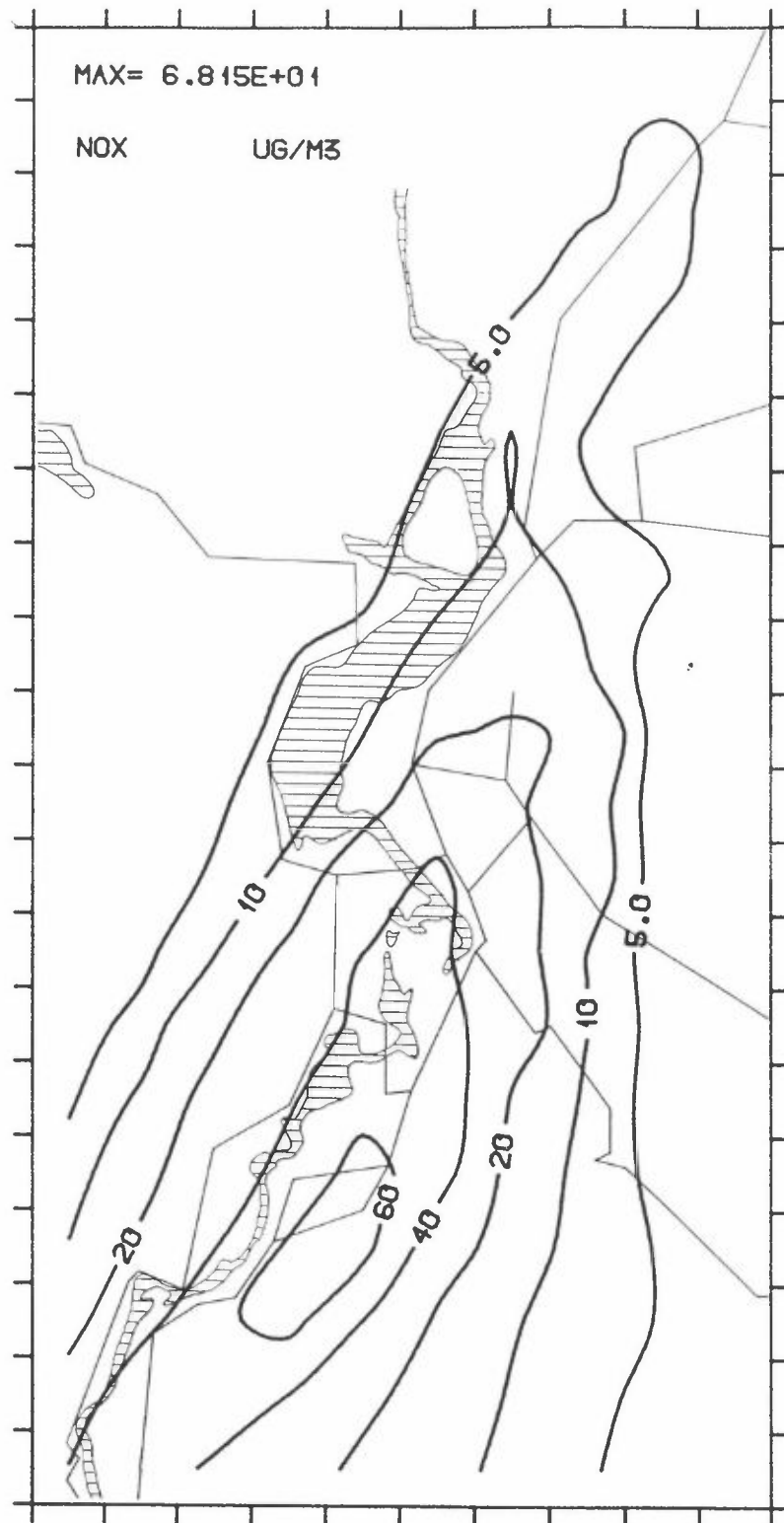
Figur 10a:  $\text{SO}_2$ -bidraget fra punktkilder i et utvalgt vinterdøgn med lave vindstyrker og stabil sjiktning.  
Enhet:  $\mu\text{g}/\text{m}^3$  langs isolinjene 1, 4 og 10.



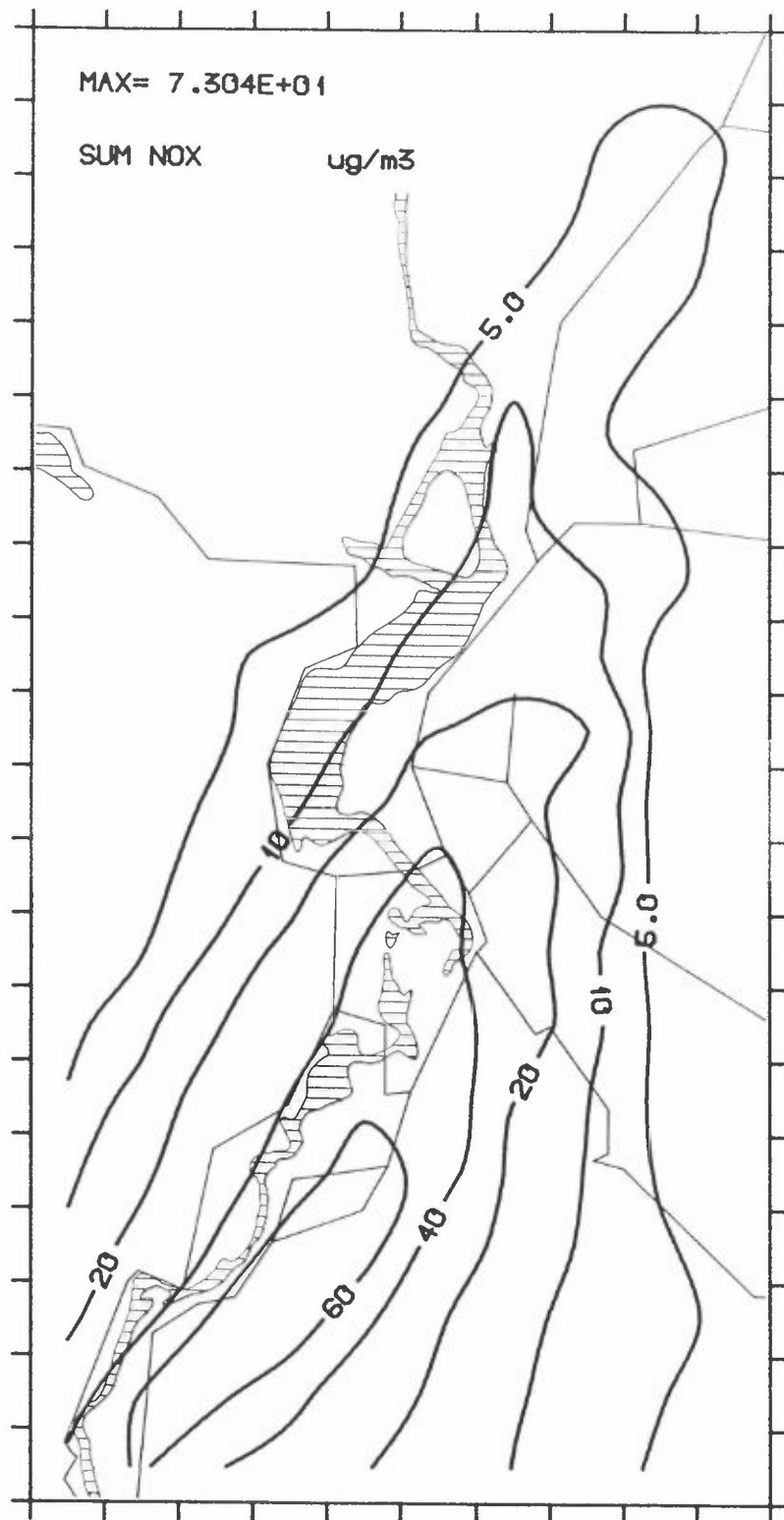
Figur 10b: De enkelte punktkilders bidrag til konsentrasjoner av SO<sub>2</sub> i et utvalgt vinterdøgn med lave vindstyrker og stabil sjiktning.  
Enhet:  $\mu\text{g}/\text{m}^3$ .



Figur 11: Total middlere konsentrasjon av SO<sub>2</sub> i et utvalgt døgn med lave vindstyrker og stabil sjiktning.  
Enhet:  $\mu\text{g}/\text{m}^3$  langs isolinjene 2, 4, 8 og 12.  
Bakgrunnsbelastning: 1,0  $\mu\text{g}/\text{m}^3$ .



Figur 12: NO<sub>x</sub>-bidraget fra biltrafikken i et utvalgt døgn med lave vindstyrker og stabil sjiktning.  
Enhet:  $\mu\text{g}/\text{m}^3$  langs isolinjene 5, 10, 20, 40 og 60.



Figur 13: Total midlere konsentrasjon av NO<sub>2</sub> i et døgn med lave vindstyrker og stabil sjiktning.  
Enhet:  $\mu\text{g}/\text{m}^3$  langs isolinjene 5, 10, 20, 40 og 60.  
Bakgrunnsbelastning: 4,3  $\mu\text{g}/\text{m}^3$ .

## 6 KORTTIDSKONSENTRASJONER AV SO<sub>2</sub> FRA INDUSTRIUTSLIPP

Ved bruk av utslippsdata gitt i tabell 2 er det utført spredningsberegninger av SO<sub>2</sub> for de fire bedriftene i beregningsområdet. Resultatene av spredningsberegningene er gitt i tabell 9 nedenfor. Det tas forbehold om de usikkerheter som inngår i vurdering av bygninger for de lave kildene.

Tabell 9: Maksimale timeverdier for svoveldioksid ved utsipp fra industri.

Enhet: µg/m<sup>3</sup>.

Bedrift	Maks. kons. µg/m <sup>3</sup>	Merknader
Hunsfoss Fabrikker A/S	30- 40 ( 80-100)*	*Kun mot dalsiden
Kvarstein Gartneri	5- 10 ( 20- 40)*	*Ved nedslag bak bygninger
Vigeland Metal Refinery A/S	50-100 (100-200)*	*Nedslag på industriområdet
Norsk Wallboard A/S	20- 30	

### Hunsfoss Fabrikker A/S

Utsippet skjer fra en 90 m høy skorstein. Maksimale timeverdier langs dalaksen på 30-40 µg/m<sup>3</sup> vil forekomme 0,8-2 km fra utsippet. Det kan imidlertid inntrefte innslag på dalsiden som gir timeverdier opp mot 100 µg/m<sup>3</sup>. Verdiene gitt i tabellen i parentes angir maksimale timeverdier på dalsiden ca. 1 km nordøst for fabrikken.

### Kvarstein Gartneri

Utsippet fra gartneriet skjer rett over tak og vil derfor være påvirket av bygninger ved moderate og høye vindstyrker. Det vil kunne inntrefte maksimale timeverdier nær utsippet på 20-40 µg/m<sup>3</sup>. På avstander over 300 m vil det ikke forekomme konsentrasjoner over 10 µg/m<sup>3</sup>.

Vigeland Metal Refinery A/S

Bedriften har tre utslipspunkter på industriområdet. Utslippet fra smelteovnen utgjør ca. 90% av svoveldioksidutsippet, og kun dette er vurdert i denne rapporten. Utslippshøyden er lav og vil bli påvirket av bygningene til fabrikken.

Innenfor industriområdet vil det kunne forekomme kortvarige konsentrasjoner av svoveldioksid på 100-200  $\mu\text{g}/\text{m}^3$ . På avstander større enn 300 m vil det trolig ikke forekomme maksimale timeverdier av svoveldioksid over 100  $\mu\text{g}/\text{m}^3$ . Det tas forbehold om usikkerheter i disse beregningene, da detaljert beskrivelse av bygninger ikke foreligger.

Norsk Wallboard A/S

Utslippet skjer fra en 25 m høy skorstein. Lave utslipp og relativ høy skorstein gir maksimale timeverdier på 20-30  $\mu\text{g}/\text{m}^3$  i avstander 300-800 m fra utslippet.

## 7 KONSENTRASJONER AV CO OG NO<sub>2</sub> LANGS VEIER

*Langs veinettet i Vennesla er det ikke beregnet maksimale korttidskonsentrasjoner over anbefalt grenseverdi for CO (25 mg CO/m<sup>3</sup>) og anbefalt nedre grenseverdi for NO<sub>2</sub> (200 µg NO<sub>2</sub>/m<sup>3</sup>). De høyeste beregnede verdier var 8,9 mg CO/m<sup>3</sup> og 178 µg NO<sub>2</sub>/m<sup>3</sup> langs riksvei 405 mellom Kvarstein og avkjørselen til riksvei 454.*

---

For veinettet i området er det beregnet maksimale korttidskonsentrasjoner av CO og NO<sub>2</sub> i avstand 5 m fra kjørekant. Beregningene er utført ved hjelp av data innsamlet av Vennesla kommune.

Figurene 14 og 15 viser maksimale korttidskonsentrasjoner av CO og NO<sub>2</sub> langs veinettet. Figurene viser at de mest belastede veilenkene er langs riksvei 405 gjennom Vennesla. Resultatet av alle spredningsberegningene for alle veilenkene er gitt i vedlegg D.

Statens forurensningstilsyn (SFT) har foreslått grenseverdier for CO og NO<sub>2</sub> (SFT, 1982). Disse er gitt i vedlegg C og timesverdier (og 8-timers verdier for CO) er satt opp nedenfor.

Stoff	Grenseverdi	Midlingstid
CO	10 mg/m <sup>3</sup>	8 timer
	25 mg/m <sup>3</sup>	1 time
NO <sub>2</sub>	200 µg/m <sup>3</sup>	1 time laveste grenseverdi
	350 µg/m <sup>3</sup>	1 time høyeste grenseverdi





Figur 14: CO morgenrush.



Figur 15:  $\text{NO}_2$  morgenrush.

## 8 REFERANSER

- Bøhler, T. (1984) Luftforurensning og miljøbelastning fra et planlagt forbrenningsanlegg for avfall i Vennesla. Lillestrøm (NILU OR 74/83).
- Bøhler, T. (1987) User's guide for the Caussion type dispersion models CONCX and CONDEP. Lillestrøm (NILU TR 8/87).
- Gram, F. (1987) Felt-programmer. Program- og brukerbeskrivelse for en rekke hjelpeprogrammer til KILDER-systemet. Lillestrøm (NILU TR 5/87).
- Gram, F. og Larssen, S. (1990) NILUs beregningssystem for beregning av eksosutslipp, forurensningskonsentrasjoner og totalutslipp langs veinett. Lillestrøm (NILU internt notat under arbeid).
- Haugsbakk, I. (1991) Luftforurensende utslipp fra ulike kildegrupper i Vennesla. Vinterhalvåret 1989. Lillestrøm (NILU OR 1/91).
- Statens forurensningstilsyn (1982) Luftforurensning, virkning på helse og miljø. Oslo (SFT-rapport nr. 38).
- Sørli, J. og Torp, C. (1990) Brukerveiledning for VLUFIT, versjon 1.5. Lillestrøm (NILU TR 11/90).



## VEDLEGG A

Meteorologiske data



Tabell A1: Vindfrekvenser (vindrosor) fra Kvarstein, vinterhalvåret 1972/73.

STASJON : KVARSTEIN  
PERIODE : 01.10.72 - 31.03.73

FORDELING AV VINDRETNINGER OVER DØGNET (%)

*) VIND- RETNING	KLOKKESLETT								VIND- ROSE
	01	04	07	10	13	16	19	22	
30	44.6	46.4	43.6	33.9	24.7	28.6	39.1	42.4	36.6
60	7.3	7.3	10.1	17.5	15.2	3.4	2.9	5.1	8.9
90	1.7	.0	.0	.6	.6	1.1	.0	.6	.8
120	.0	.0	1.1	.6	.0	1.7	.0	.0	.4
150	.6	1.7	.0	.6	1.7	1.7	1.7	1.1	1.2
180	7.3	5.6	6.7	12.3	15.2	18.3	12.6	9.0	11.2
210	18.1	22.3	24.0	20.5	29.8	26.3	21.8	20.9	22.7
240	4.0	2.8	1.1	1.8	.6	2.3	2.9	2.8	2.5
270	.0	.6	.0	.0	.0	.6	.0	.0	.1
300	.0	.0	.0	.6	.0	.0	.0	.0	.0
330	.0	1.1	.6	.0	3.4	2.9	.0	.0	1.0
360	1.1	1.7	.6	1.2	1.7	.0	.0	.6	1.3
STILLE	15.3	10.6	12.3	10.5	7.3	13.1	19.0	17.5	13.2
ANT. OBS	( 177)	( 179)	( 179)	( 171)	( 178)	( 175)	( 174)	( 177)	( 4238)
MIDLERE									
VIND M/S	1.6	1.7	1.7	1.9	2.1	1.8	1.5	1.6	1.7

VINDSTYRKEKLASSER FORDELT PÅ VINDRETNING (%)

KLASSE I:	VINDSTYRKE	.6 - 1.0 M/S
KLASSE II:	VINDSTYRKE	1.1 - 2.0 M/S
KLASSE III:	VINDSTYRKE	2.1 - 3.0 M/S
KLASSE IV:	VINDSTYRKE	> 3.0 M/S

*) VIND- RETNING	KLASSER				TOTAL	NOBS	MIDLERE VIND M/S
	I	II	III	IV			
30	12.4	16.7	4.5	3.1	36.6	( 1551)	1.6
60	2.4	4.0	2.4	.1	8.9	( 377)	1.6
90	.3	.4	.1	.0	.8	( 35)	1.3
120	.3	.1	.0	.0	.4	( 18)	1.1
150	.3	.6	.1	.1	1.2	( 49)	1.6
180	1.0	2.5	3.8	3.9	11.2	( 476)	2.6
210	4.1	6.5	4.0	8.1	22.7	( 960)	2.6
240	1.3	1.1	.1	.0	2.5	( 108)	1.2
270	.1	.0	.0	.0	.1	( 6)	.7
300	.0	.0	.0	.0	.0	( 2)	1.5
330	.2	.3	.3	.1	1.0	( 41)	2.0
360	.4	.6	.2	.0	1.3	( 55)	1.5
STILLE					13.2	( 560)	
TOTAL	22.8	32.8	15.7	15.5	100.0	( 4238)	
MIDLERE							
VIND M/S	.8	1.5	2.5	4.2			1.7

\*) DETTE TALLET ANGIR SENTRUM AV VINDSEKTOR

Tabell A2: Meteorologiske forhold for vinterhalvåret i Vennesla fordelt på fire vindstyrkeklasser, fire stabilitetsklasser og tolv vindsektorer.

**FREKVENSFORDELING SOM FUNKSJON AV VINDSTYRKE OG STABILITET**

KLASSE I: USTABIL  
 KLASSE II: NØYTRAL  
 KLASSE III: LETT STABIL  
 KLASSE IV: STABIL

VINDSTILLE:  $U \leq 0.5 \text{ m/s}$

VIND RETN	0.8 M/S				1.5 M/S				2.5 M/S				4.2 M/S			
	I	II	III	IV	I	II	III	IV	I	II	III	IV	I	II	III	IV
30	1.0	4.6	9.0	5.2	1.0	5.7	6.0	4.0	.0	1.5	2.0	1.0	.1	1.5	1.2	.3
60	.2	1.0	1.5	1.1	.0	1.5	1.4	1.1	.0	1.5	.6	.3	.0	.1	.0	.0
90	.0	.2	.2	.1	.0	.2	.1	.1	.0	.0	.1	.0	.0	.0	.0	.0
120	.0	.2	.2	.1	.0	.0	.1	.0	.0	.0	.0	.0	.0	.0	.0	.0
150	.1	.2	.1	.1	.0	.3	.2	.1	.0	.1	.0	.0	.0	.1	.0	.0
180	.3	.7	.4	.2	.0	1.3	.8	.4	.1	3.0	.5	.2	.2	2.5	.8	.4
210	.8	2.4	2.3	1.0	.3	3.7	1.5	1.0	.2	3.0	.6	.2	.3	5.0	2.0	.8
240	.4	.8	.5	.3	.0	.5	.4	.2	.0	.1	.0	.0	.0	.0	.0	.0
270	.0	.0	.1	.0	.0	.0	.0	.0	.0	.0	.0	.0	.0	.0	.0	.0
300	.0	.0	.0	.0	.0	.0	.0	.0	.0	.0	.0	.0	.0	.0	.0	.0
330	.0	.0	.2	.1	.0	.2	.1	.0	.0	.2	.1	.0	.0	.1	.0	.0
360	.0	.4	.2	.1	.0	.3	.2	.1	.0	.1	.1	.0	.0	.0	.0	.0
	2.8		1.3						.3				.6			
	10.5				13.7					9.5				9.3		
		14.7				10.8					4.0				4.0	
			8.3				7.0					1.7				1.5
	KLASSE I:		KLASSE II:			KLASSE III:			KLASSE IV:							
	5.0 %		43.0 %			33.5 %			18.5 %							

Tabell A3: Meteorologiske forhold for et vinterdøgn med lave vindstyrker og stabil sjiktning i Vennesla fordelt på fire vindstyrkeklasser, fire stabilitetsklasser og tolv vindsektorer.

**FREKVENSFORDELING SOM FUNKSJON AV VINDSTYRKE OG STABILITET**

**KLASSE I: USTABIL**  
**KLASSE II: NØYTRAL**  
**KLASSE III: LETT STABIL**  
**KLASSE IV: STABIL**

**VINDSTILLE: U MINDRE ELLER LIK 0.5 M/S**

VIND RETN	0.8 M/S				1.5 M/S				2.5 M/S				4.2 M/S			
	I	II	III	IV	I	II	III	IV	I	II	III	IV	I	II	III	IV
30	.0	.040	.020	.0	.0	.010	.0	.0	.0	.0	.0	.0	.0	.0	.0	.0
60	.0	.0	.0	.0	.0	.0	.0	.0	.0	.0	.0	.0	.0	.0	.0	.0
90	.0	.0	.0	.0	.0	.0	.0	.0	.0	.0	.0	.0	.0	.0	.0	.0
120	.0	.0	.0	.0	.0	.0	.0	.0	.0	.0	.0	.0	.0	.0	.0	.0
150	.0	.0	.0	.0	.0	.0	.0	.0	.0	.0	.0	.0	.0	.0	.0	.0
180	.0	.0	.0	.0	.0	.0	.0	.0	.0	.0	.0	.0	.0	.0	.0	.0
210	.0	.0	.0	.0	.0	.0	.0	.0	.0	.0	.0	.0	.0	.0	.0	.0
240	.0	.0	.0	.0	.0	.0	.0	.0	.0	.0	.0	.0	.0	.0	.0	.0
270	.0	.0	.0	.0	.0	.0	.0	.0	.0	.0	.0	.0	.0	.0	.0	.0
300	.0	.0	.0	.0	.0	.0	.0	.0	.0	.0	.0	.0	.0	.0	.0	.0
330	.0	.0	.0	.0	.0	.0	.0	.0	.0	.0	.0	.0	.0	.0	.0	.0
360	.0	.020	.010	.0	.0	.0	.0	.0	.0	.0	.0	.0	.0	.0	.0	.0
	.0				.0				.0				.0			
		.0				.0				.0				.0		
			60.0				10.0				.0				.0	
				30.0				.0				.0				.0

KLASSE I:	KLASSE II:	KLASSE III:	KLASSE IV:
0.0 %	0.0 %	70.0 %	30.0 %



**VEDLEGG B**

Beregnete middelkonsentrasjoner  
vinterhalvåret 1989



## OVERSIKT OVER FIGURENE I VEDLEGG B

Figurene i vedlegget gir konsentrasjoner midlet for vinterhalvåret 1989 av  $\text{SO}_2$ ,  $\text{NO}_x$ , CO og partikler i Vennesla, fra ulike kildegrupper. Alle konsentrasjoner er gitt som  $\mu\text{g}/\text{m}^3$ , og alle konsentrasjoner av  $\text{NO}_x$  er regnet som  $\text{NO}_2$ .

Figur B1 :  $\text{SO}_2$  fra husoppvarming og småindustri.

Figur B2 :  $\text{NO}_x$  fra husoppvarming og småindustri.

Figur B3 : CO fra husoppvarming og småindustri.

Figur B4 : Partikler fra husoppvarming og småindustri.

Figur B5 :  $\text{SO}_2$  fra punktkilder.

Figur B6 :  $\text{NO}_x$  fra punktkilder.

Figur B7 : CO fra punktkilder.

Figur B8 : Partikler fra punktkilder.

Figur B9 :  $\text{SO}_2$  fra biltrafikk.

Figur B10:  $\text{NO}_x$  fra biltrafikk.

Figur B11: CO fra biltrafikk.

Figur B12: Partikler fra biltrafikk.

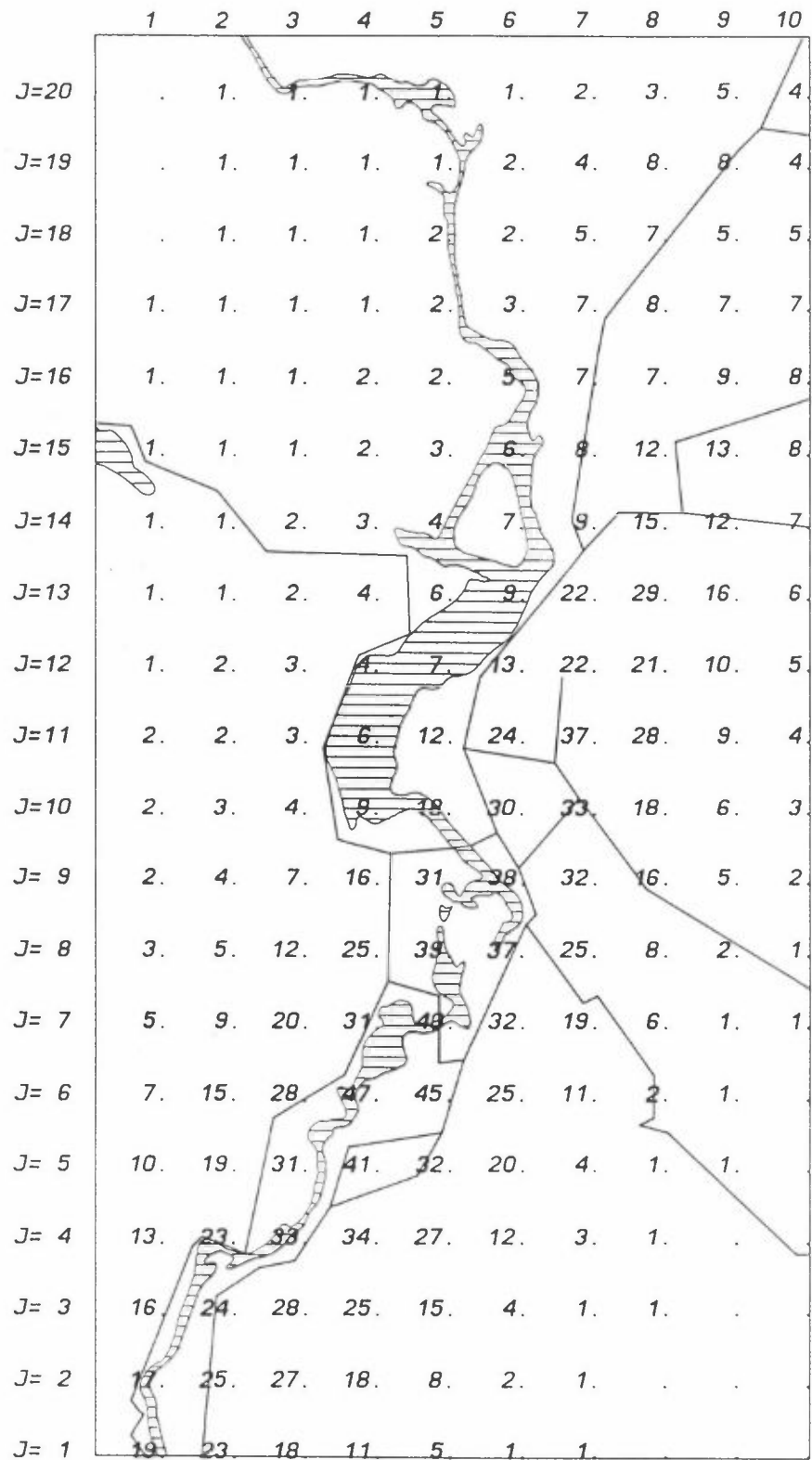
Figur B13:  $\text{SO}_2$  totalt.

Figur B14:  $\text{NO}_x$  totalt.

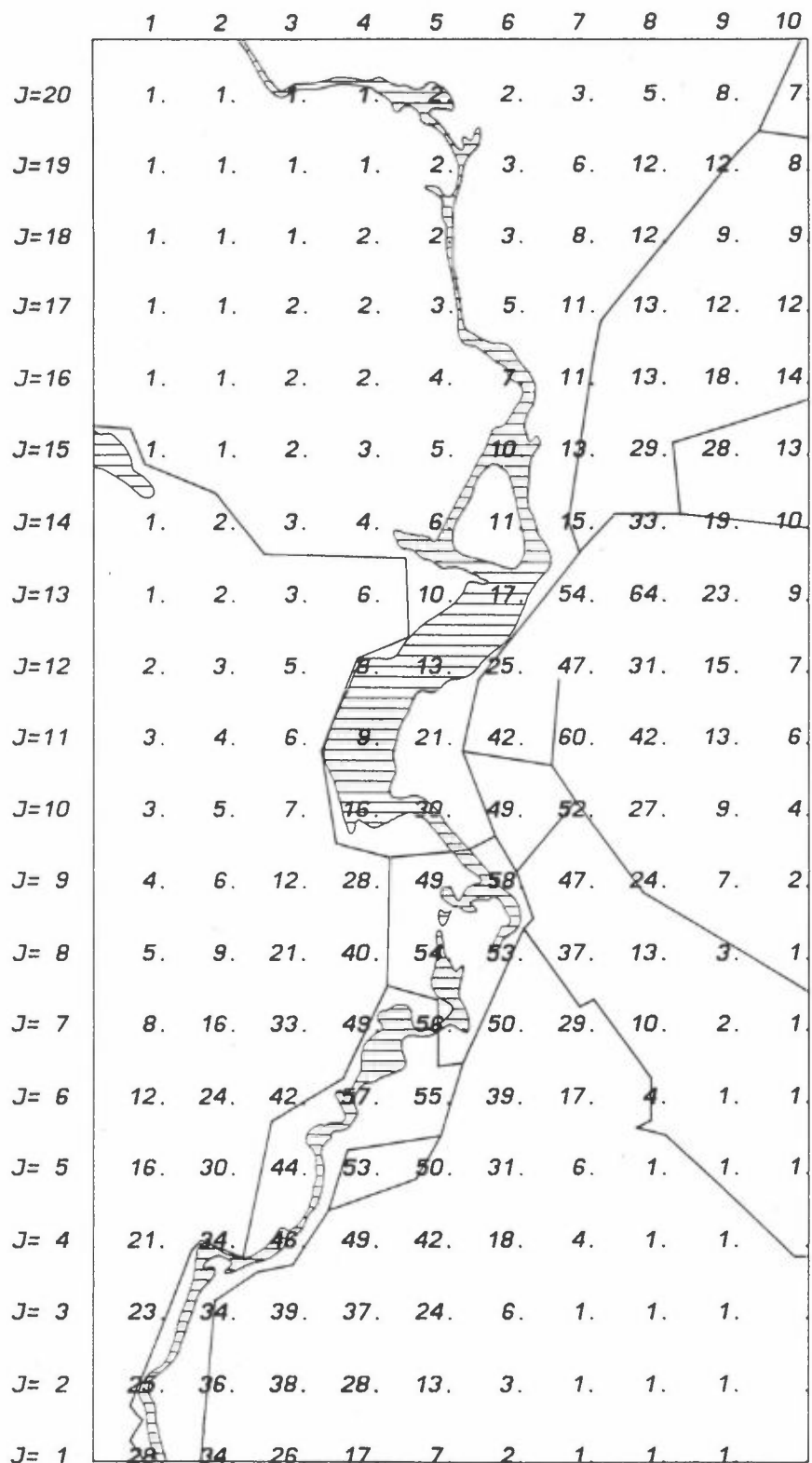
Figur B15: CO totalt.

Figur B16: Partikler totalt.

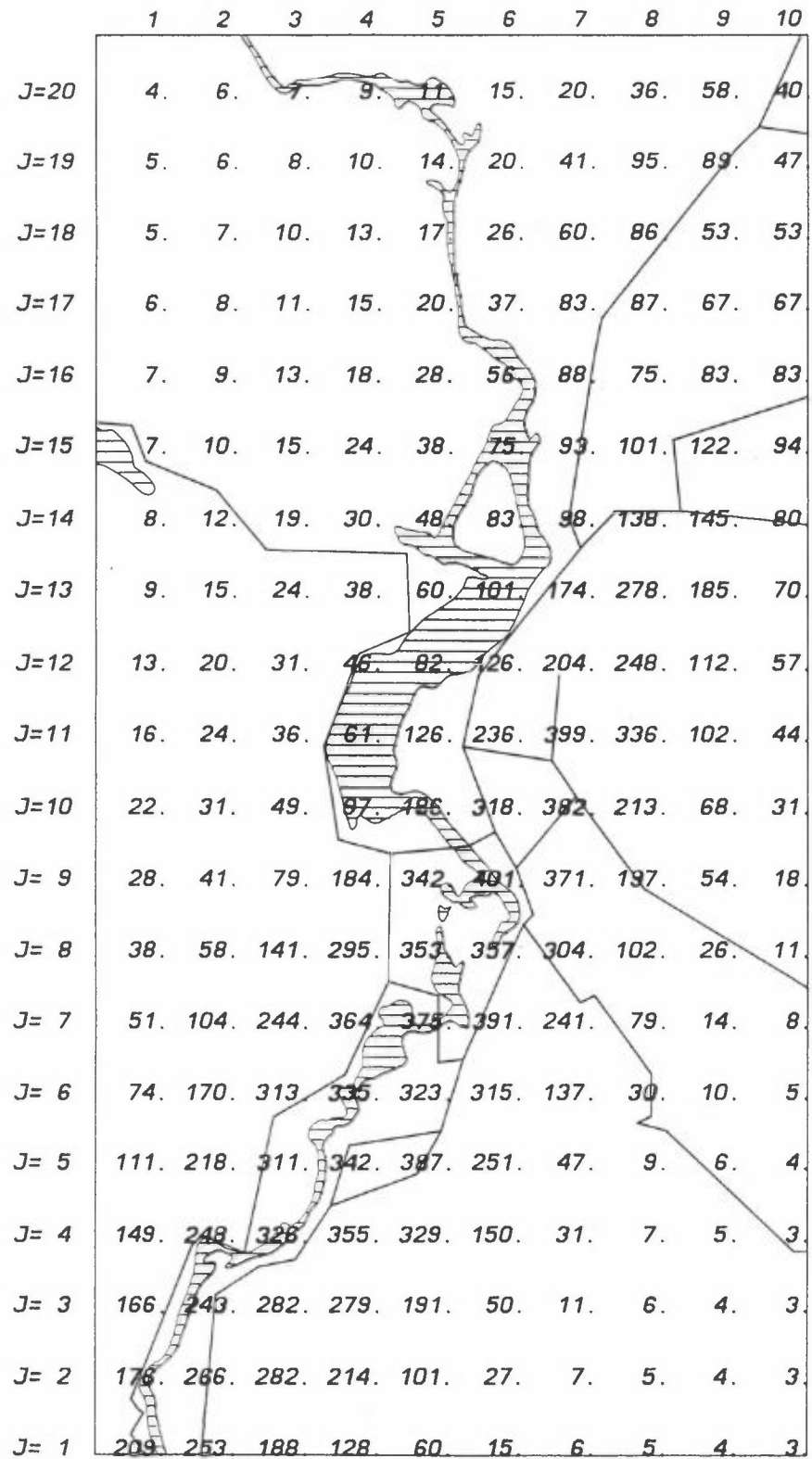




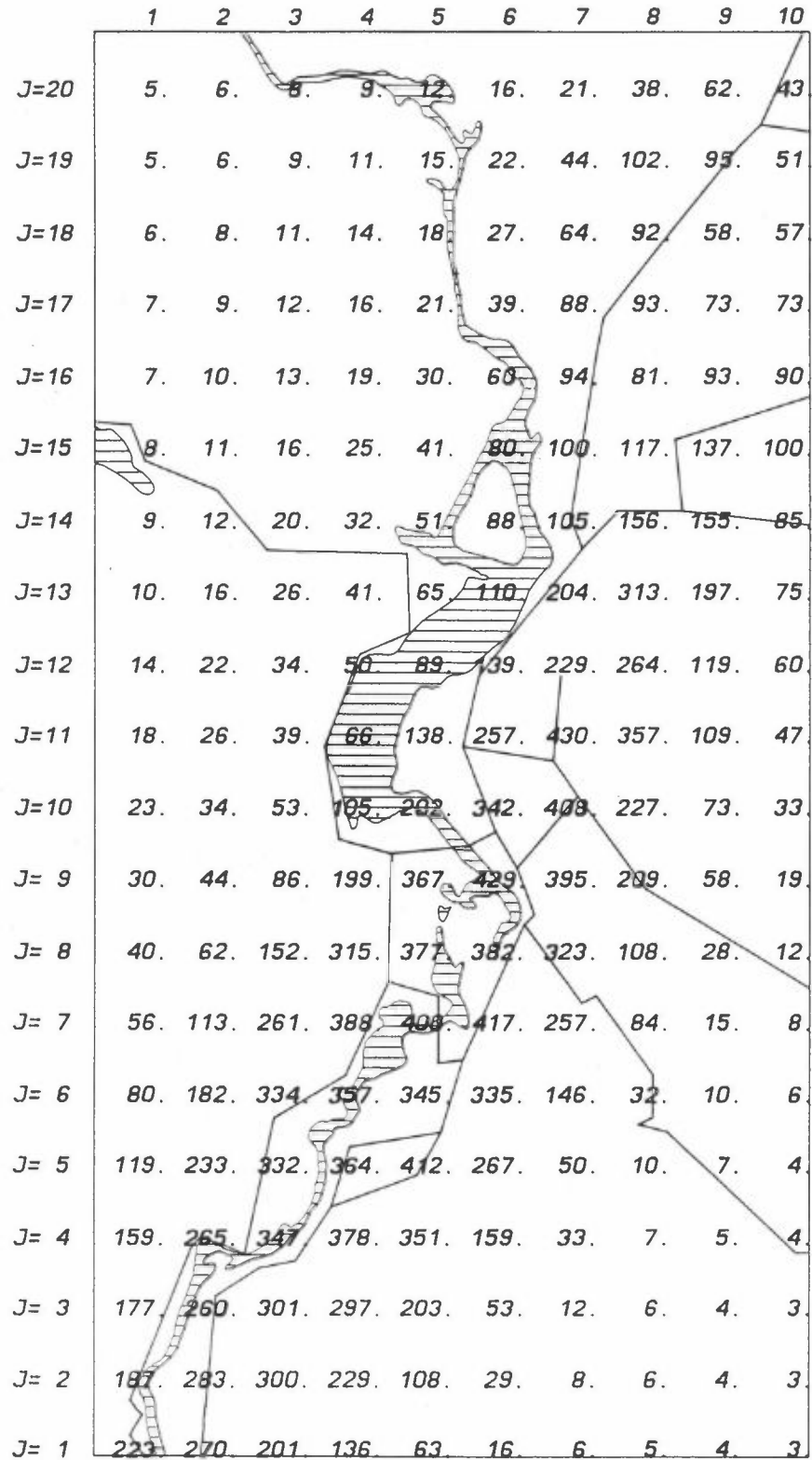
Figur B1: SO<sub>2</sub> fra husoppvarming og småindustri. Middelkonstasjoner vinterhalvåret 1989.  
Enhett: 10<sup>-2</sup> µg/m<sup>3</sup>.



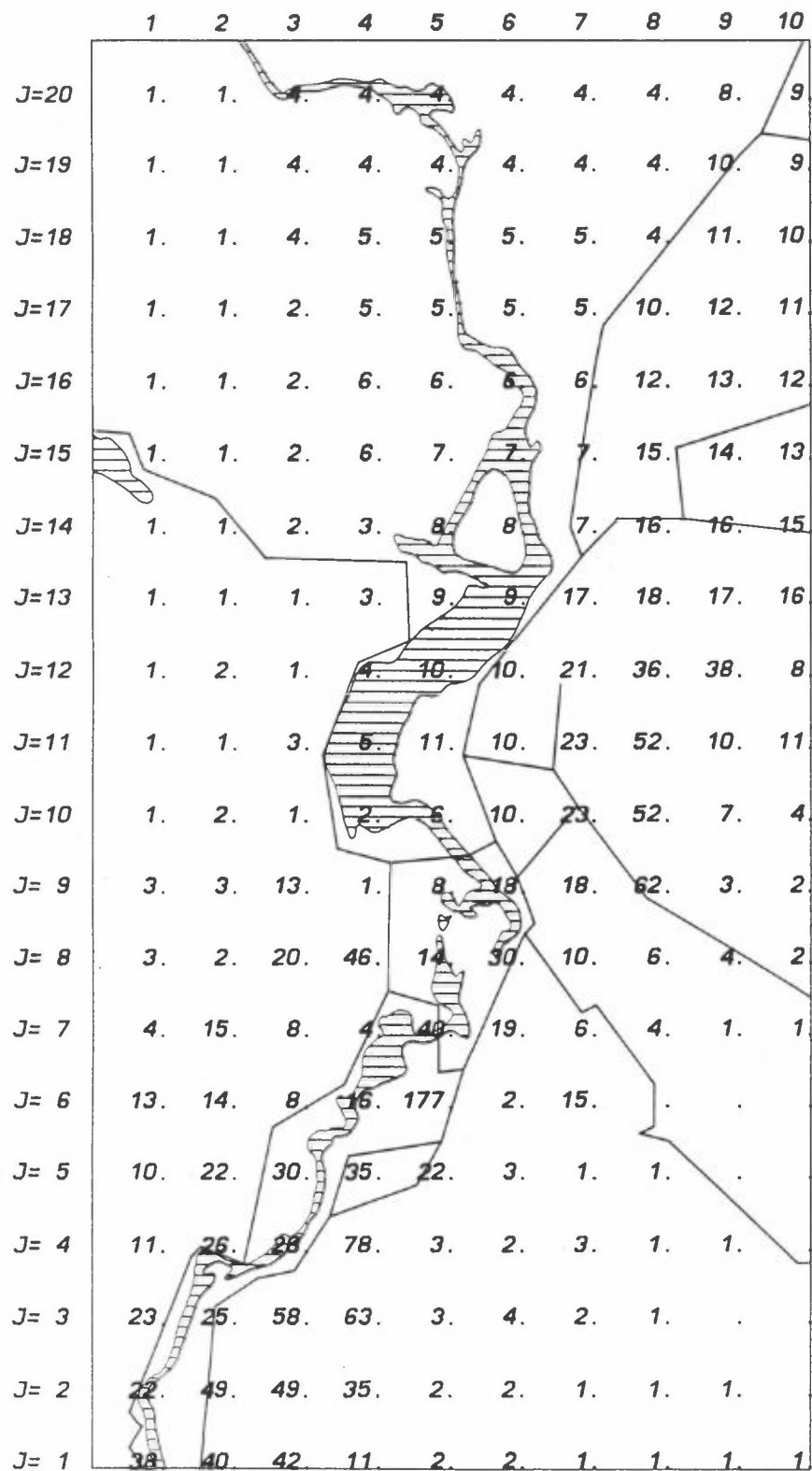
Figur B2: NO<sub>x</sub> fra husoppvarming og småindustri. Middelkonsentrasjoner vinterhalvåret 1989.  
Enhett: 10<sup>-2</sup> µg/m<sup>3</sup>.



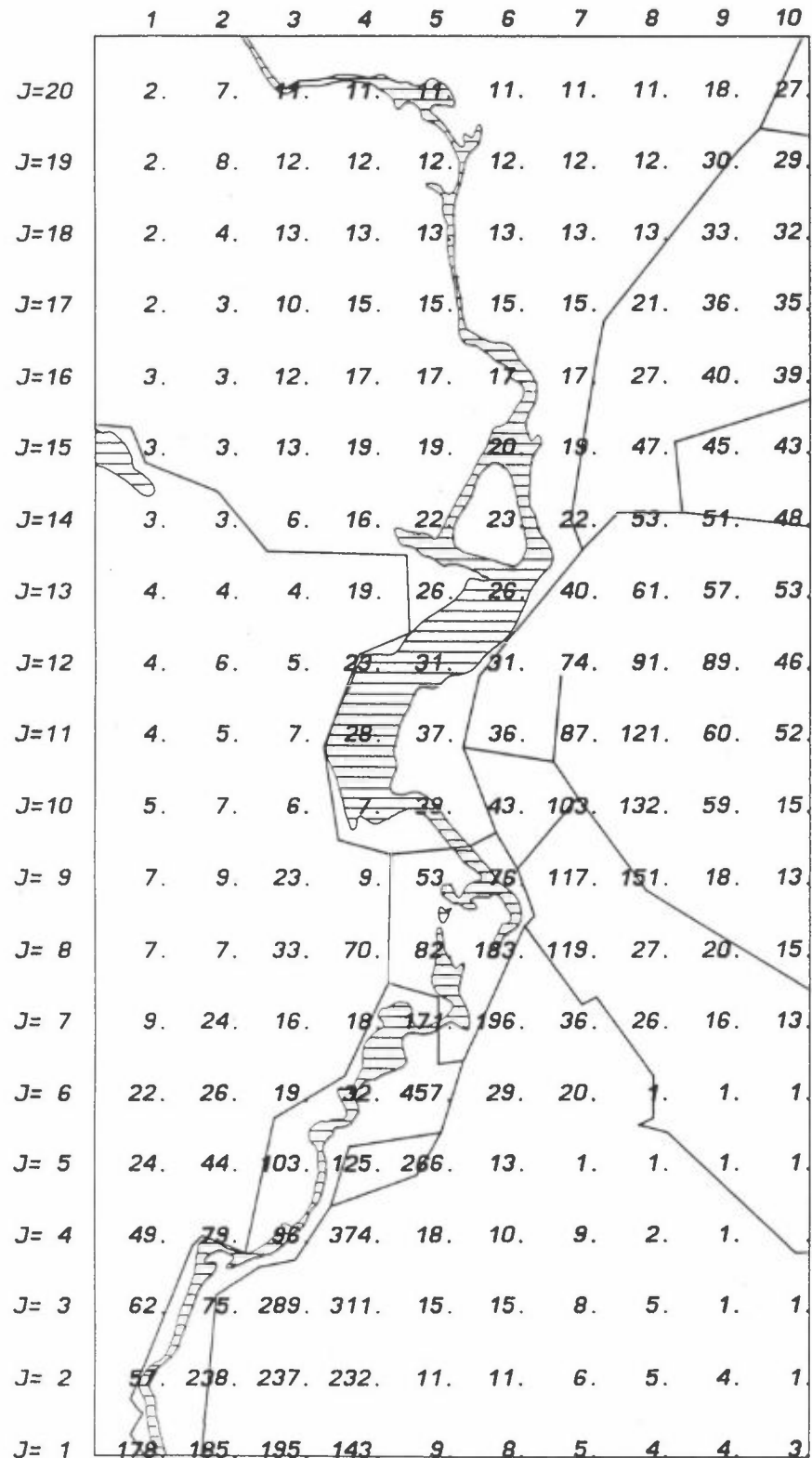
Figur B3: CO fra husoppvarming og småindustri. Middelkonsentrasjoner vinterhalvåret 1989.  
Enhet:  $10^{-1} \mu\text{g}/\text{m}^3$ .



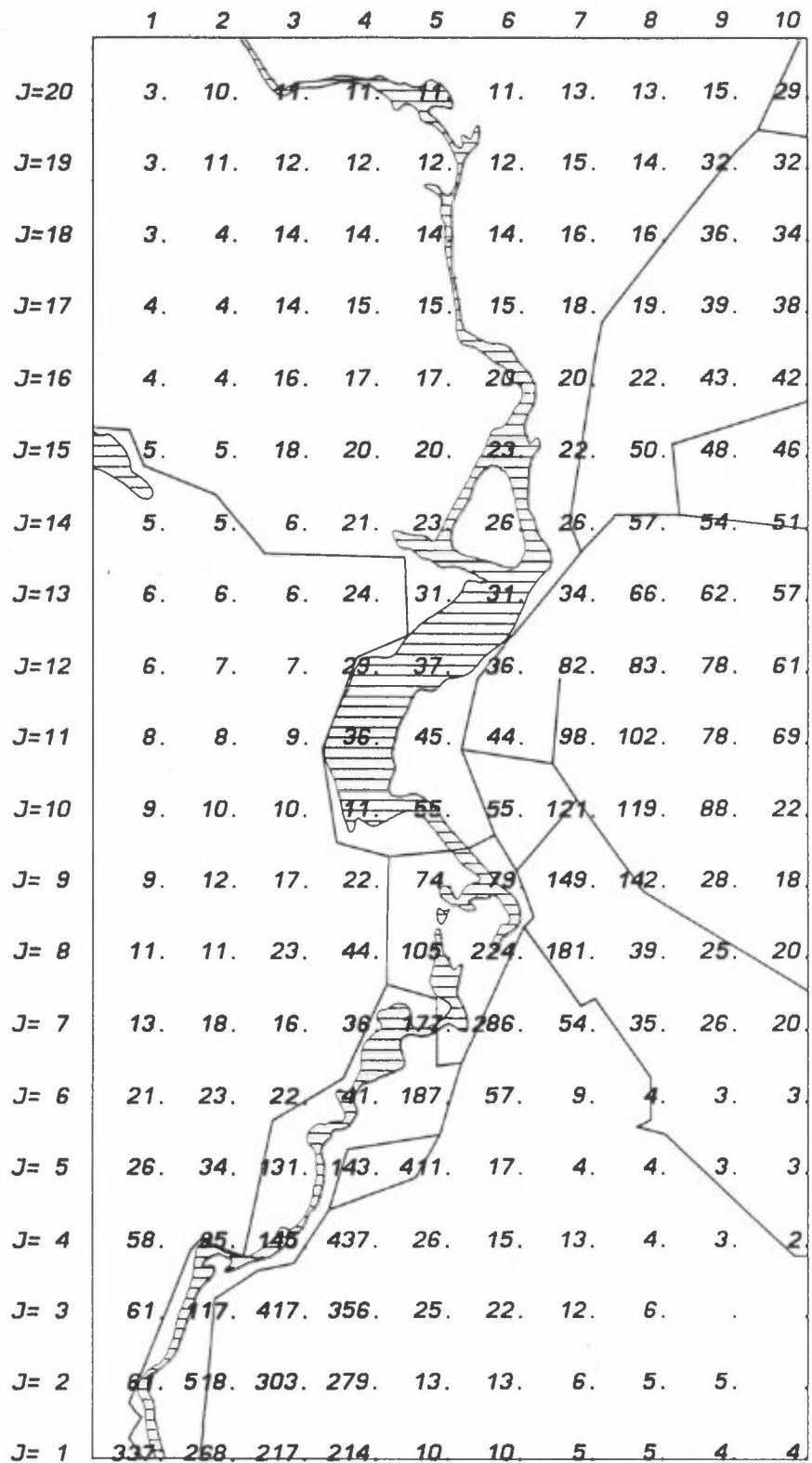
Figur B4: Partikler fra husoppvarming og småindustri. Middelkonsentrasjoner vinterhalvåret 1989.  
Enhet:  $10^{-2} \mu\text{g}/\text{m}^3$ .



Figur B5: SO<sub>2</sub> fra punktkilder. Middelkonsentrasjoner vinterhalvåret 1989.  
Enhet: 10<sup>-1</sup> µg/m<sup>3</sup>.

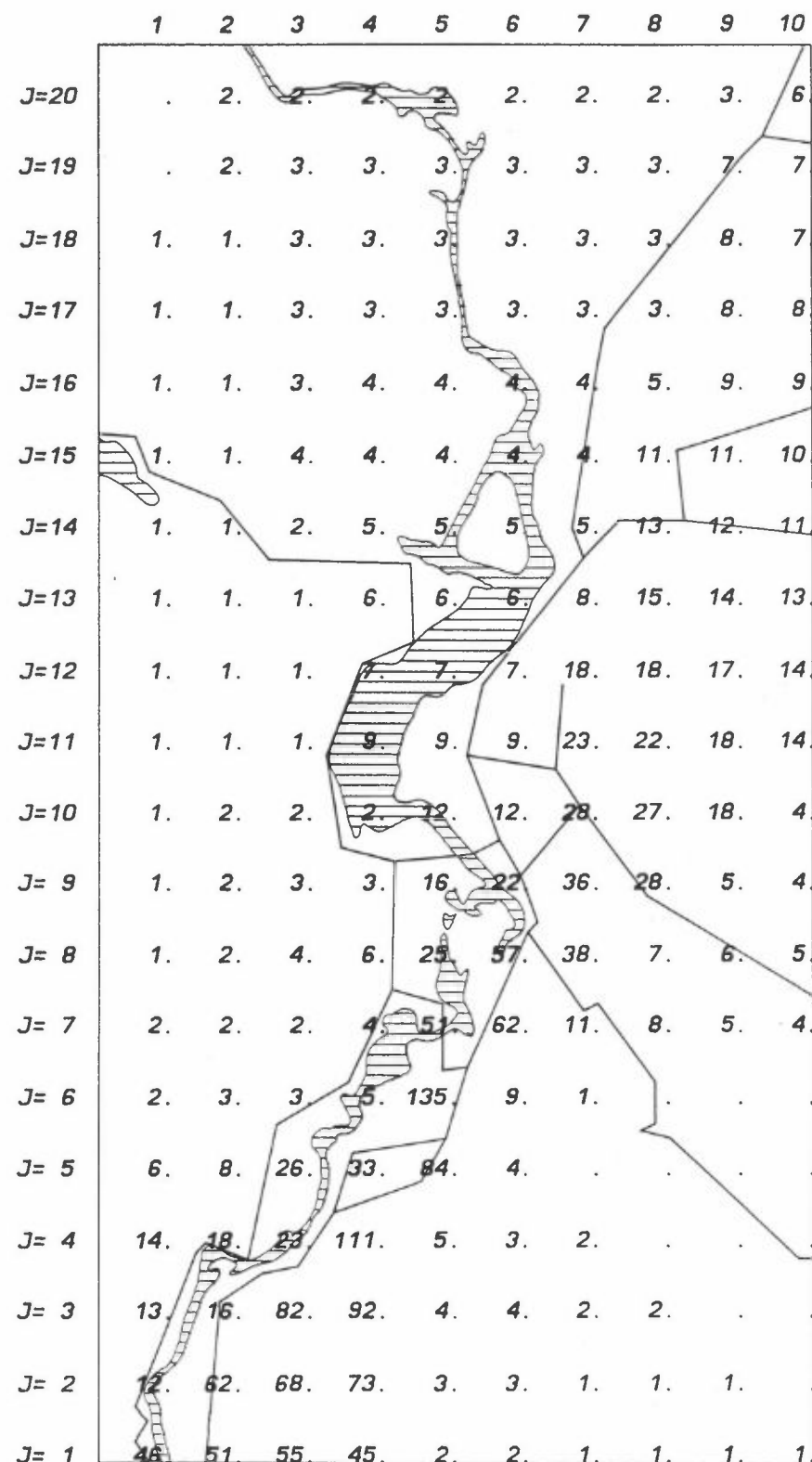


Figur B6: NO<sub>x</sub> fra punktkilder. Middelkonsentrasjoner vinterhalvåret 1989.  
Enhet: 10<sup>-2</sup> µg/m<sup>3</sup>.

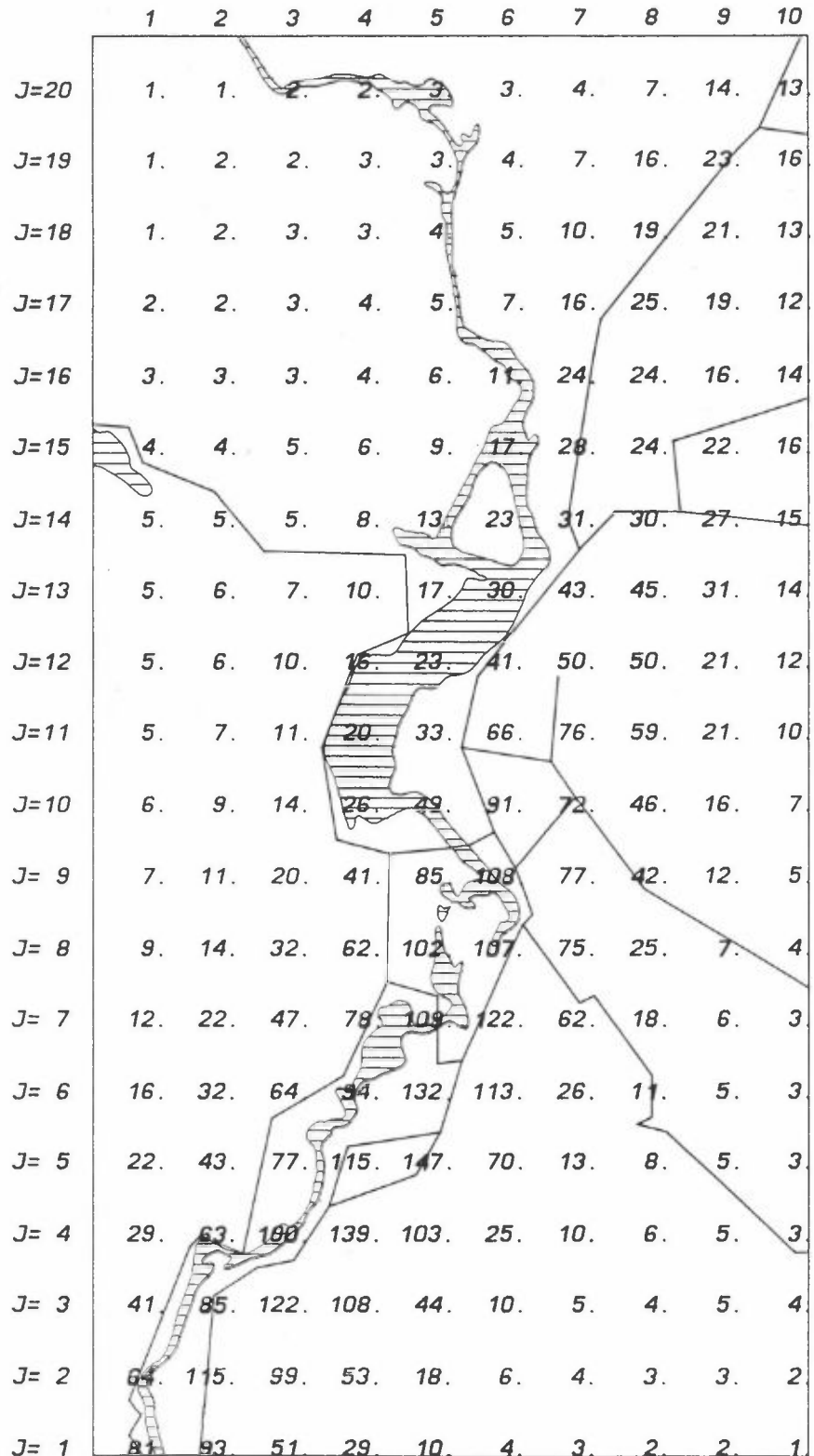


Figur B7: CO fra punktkilder. Middelkonsentrasjoner vinterhalvåret 1989.

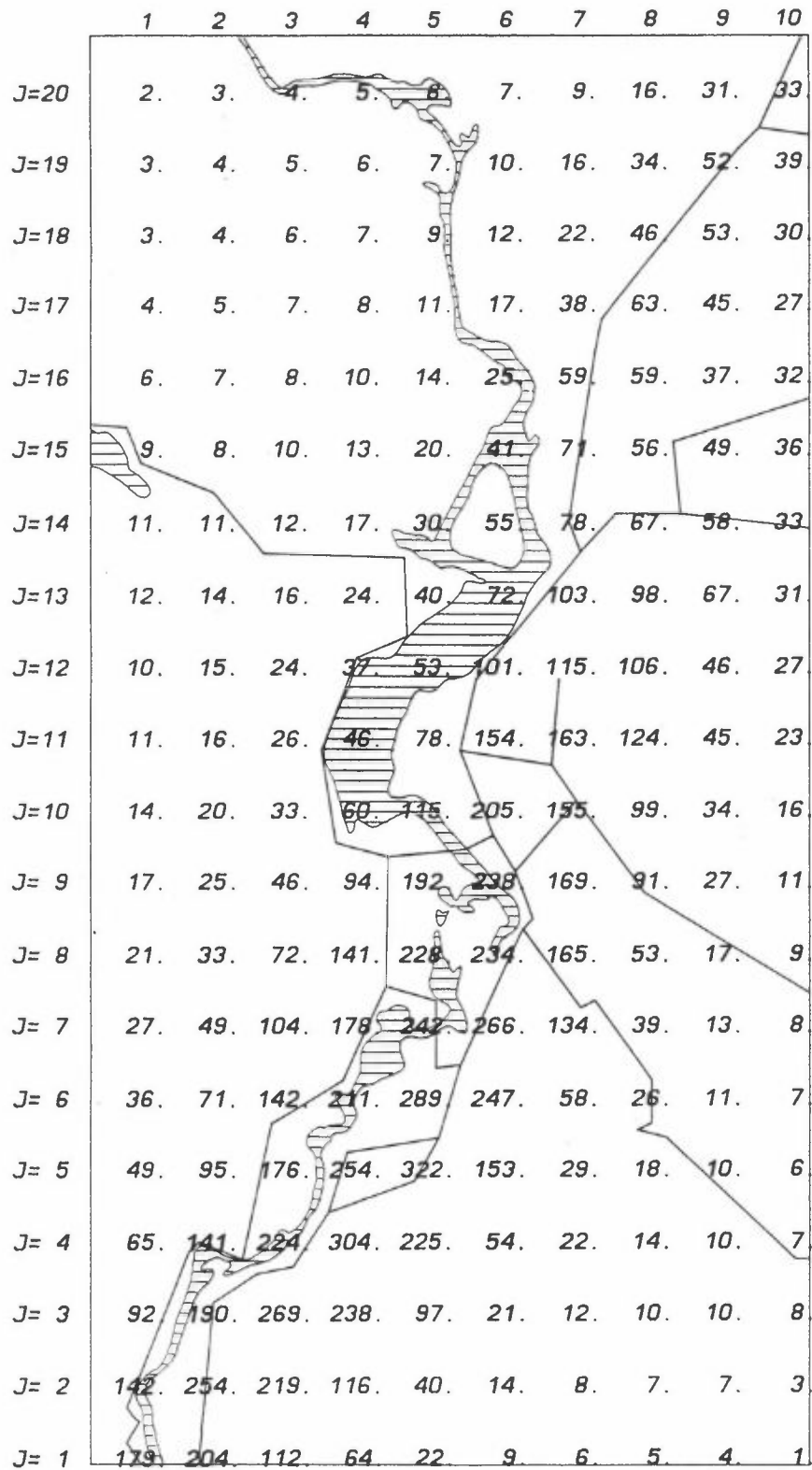
Enhet:  $10^{-3} \mu\text{g}/\text{m}^3$ .



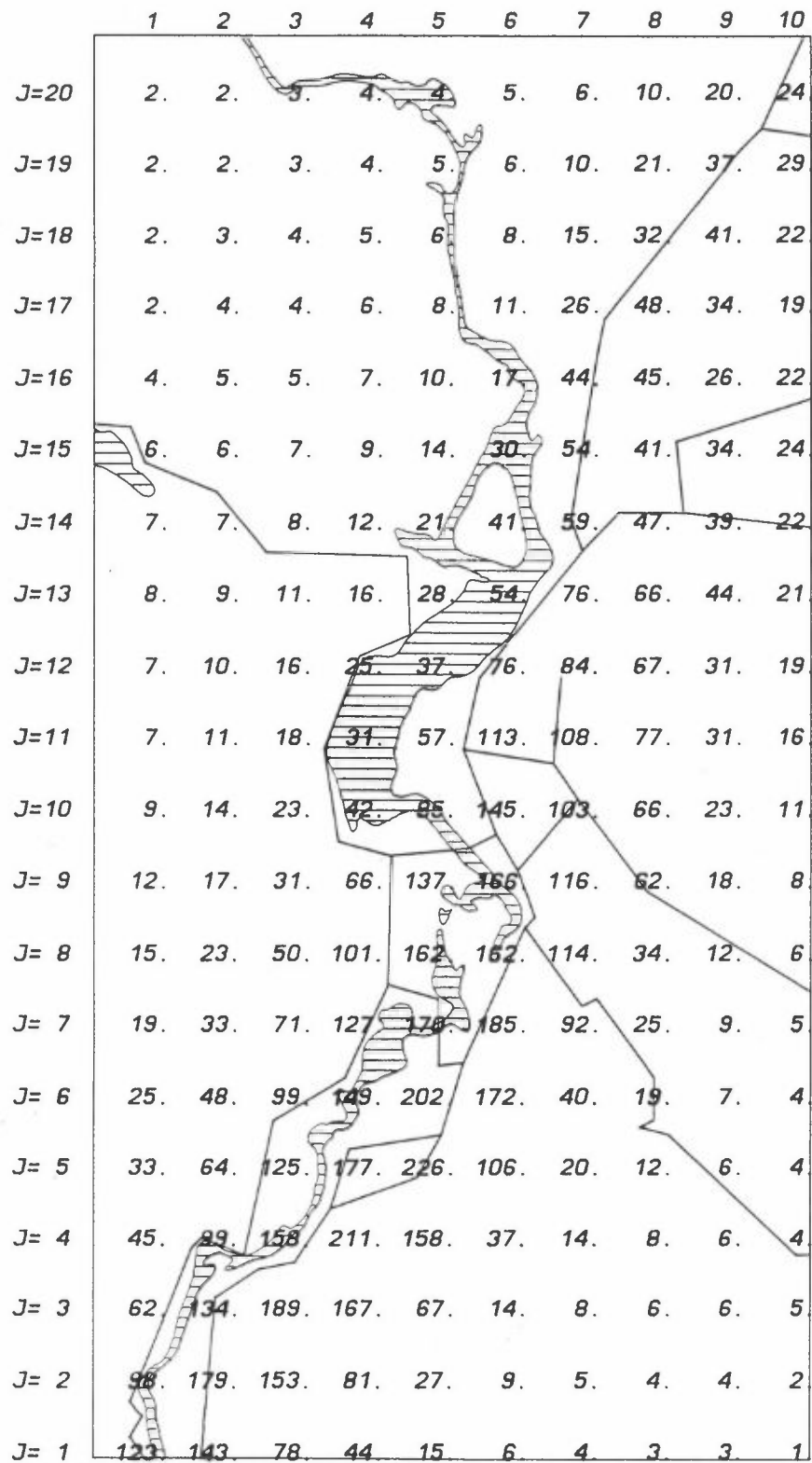
Figur B8: Partikler fra punktkilder. Middelkonsentrasjoner vinterhalvåret 1989.  
Enhet:  $10^{-2} \mu\text{g}/\text{m}^3$ .



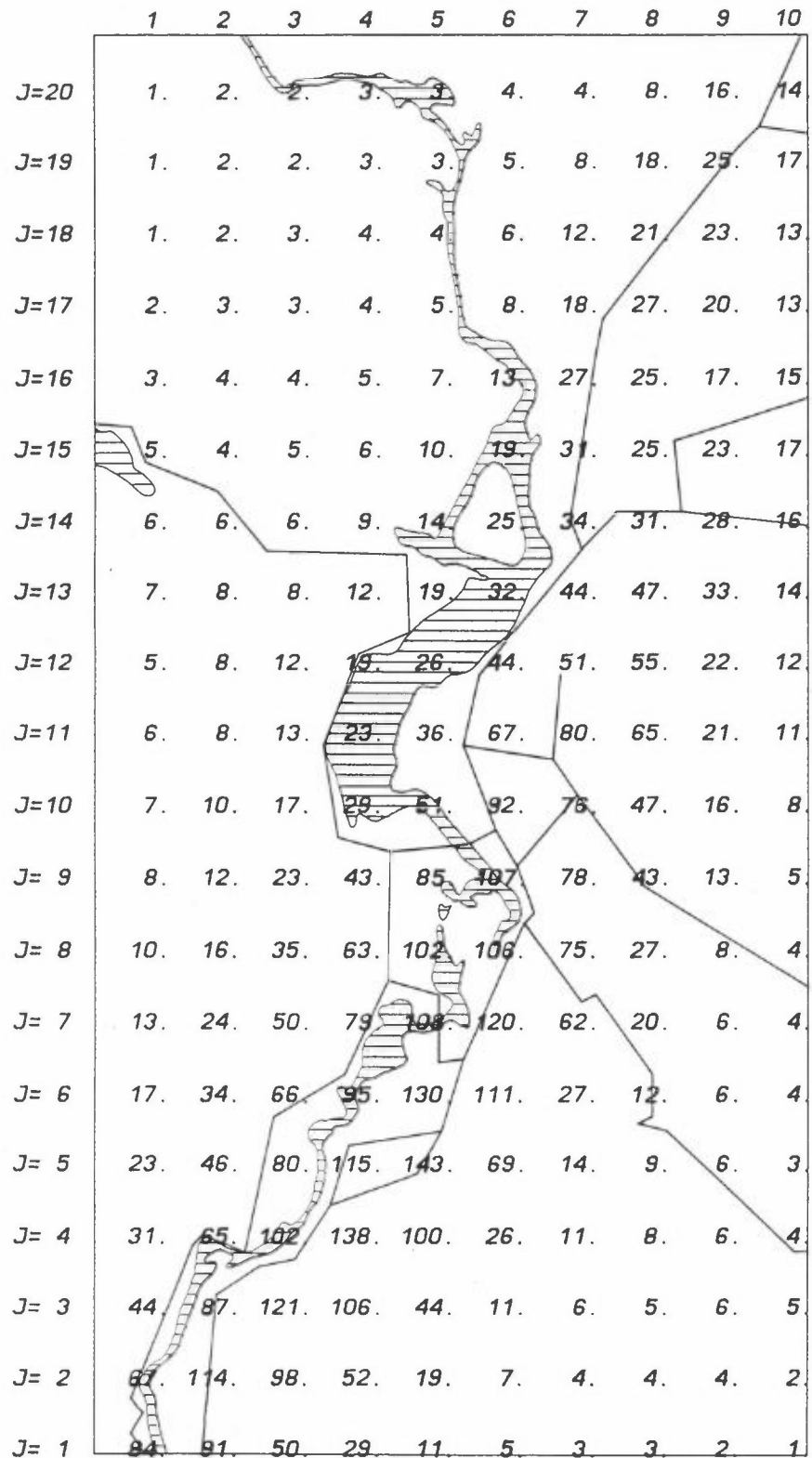
Figur B9:  $\text{SO}_2$  fra biltrafikk. Middelkonsentrasjoner vinterhalvåret 1989.  
Enhet:  $10^{-2} \mu\text{g}/\text{m}^3$ .



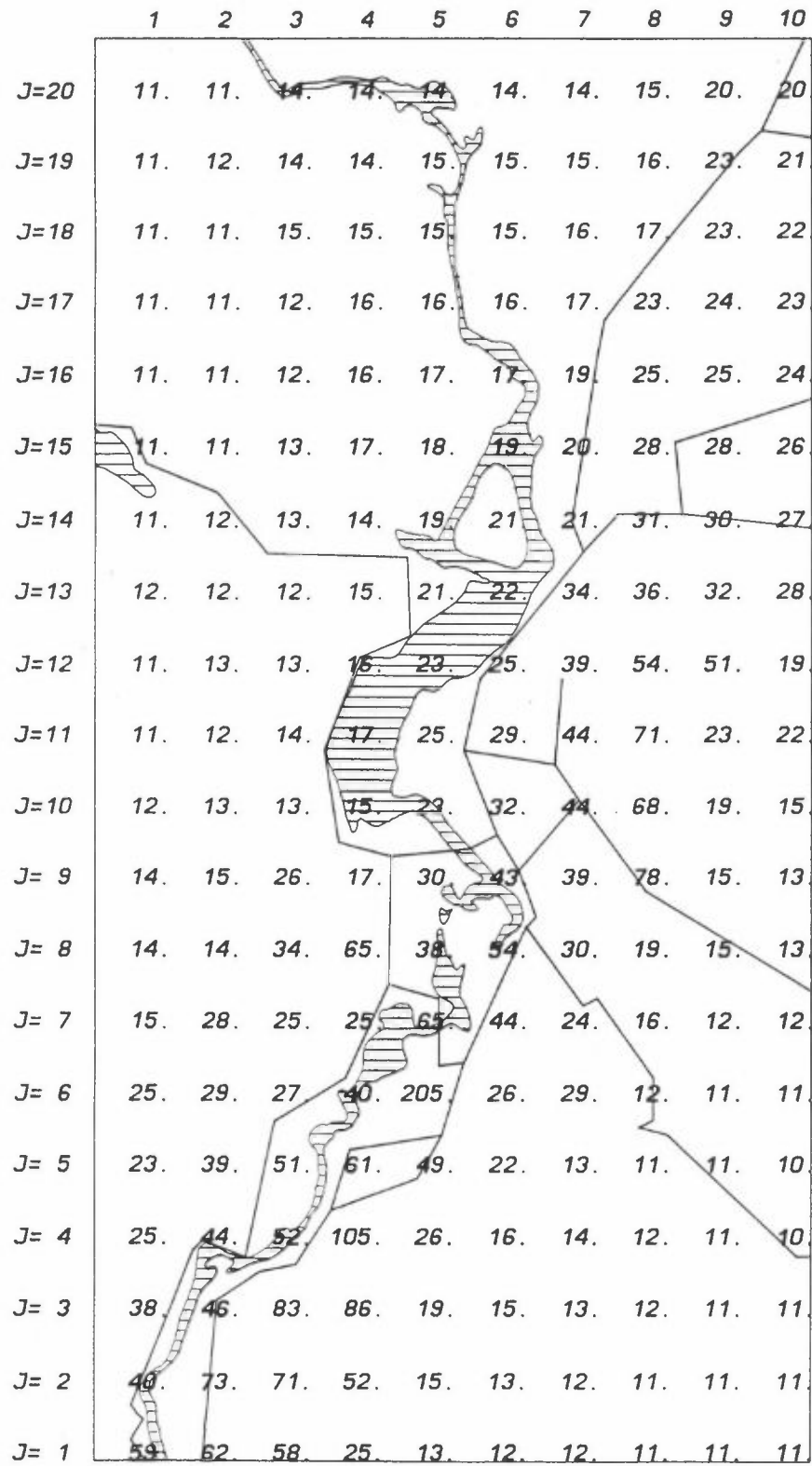
Figur B10: NO<sub>x</sub> fra biltrafikk. Middelkonsentrasjoner vinterhalvåret 1989.  
Enhet: 10<sup>-1</sup> µg/m<sup>3</sup>.



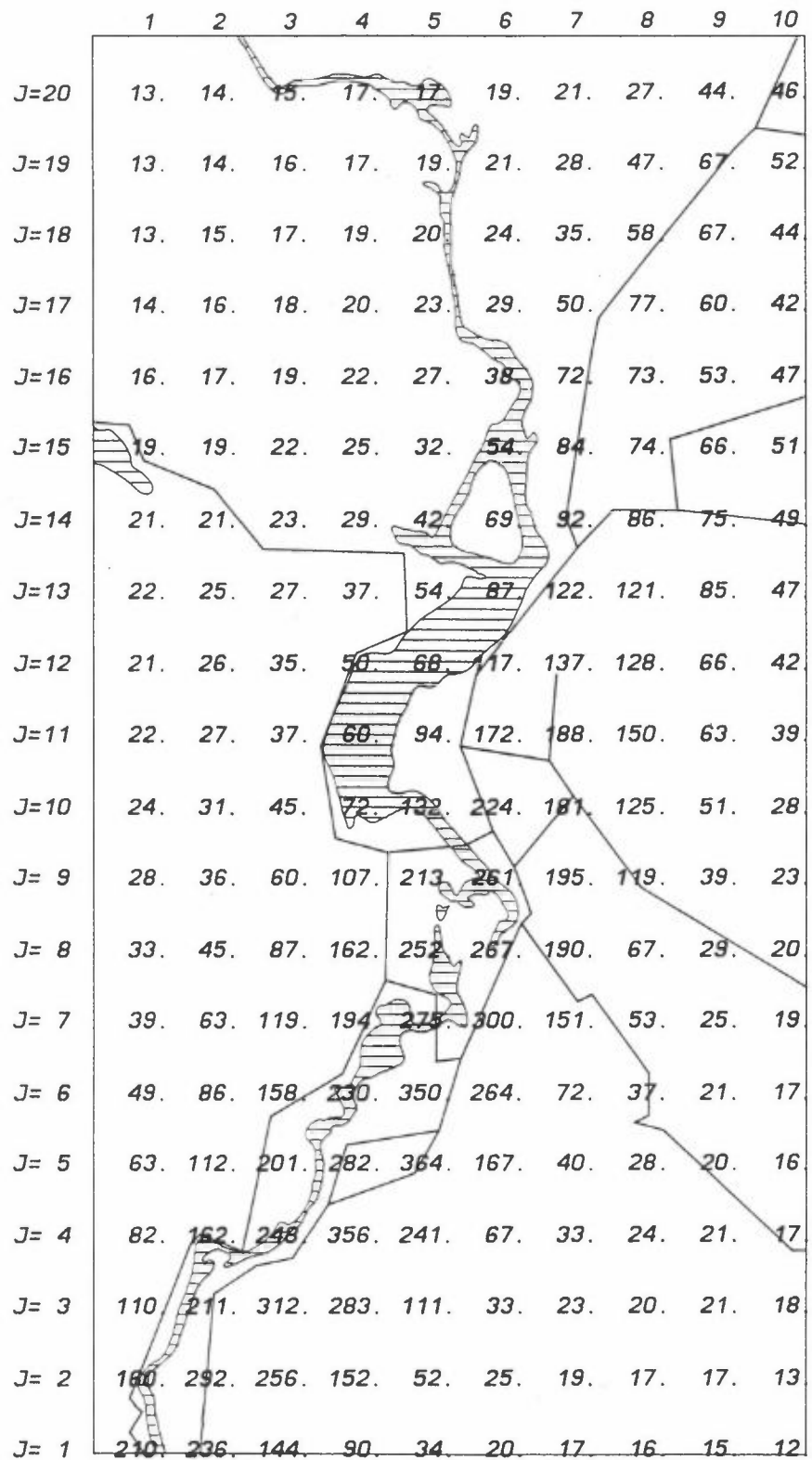
Figur B11: CO fra biltrafikk. Middelkonsentrasjoner vinterhalvåret 1989.  
Enhet:  $10 \mu\text{g}/\text{m}^3$ .



Figur B12: Partikler fra biltrafikk. Middelkonsentrasjoner vinterhalvåret 1989.  
Enhet:  $10^{-2} \mu\text{g}/\text{m}^3$ .



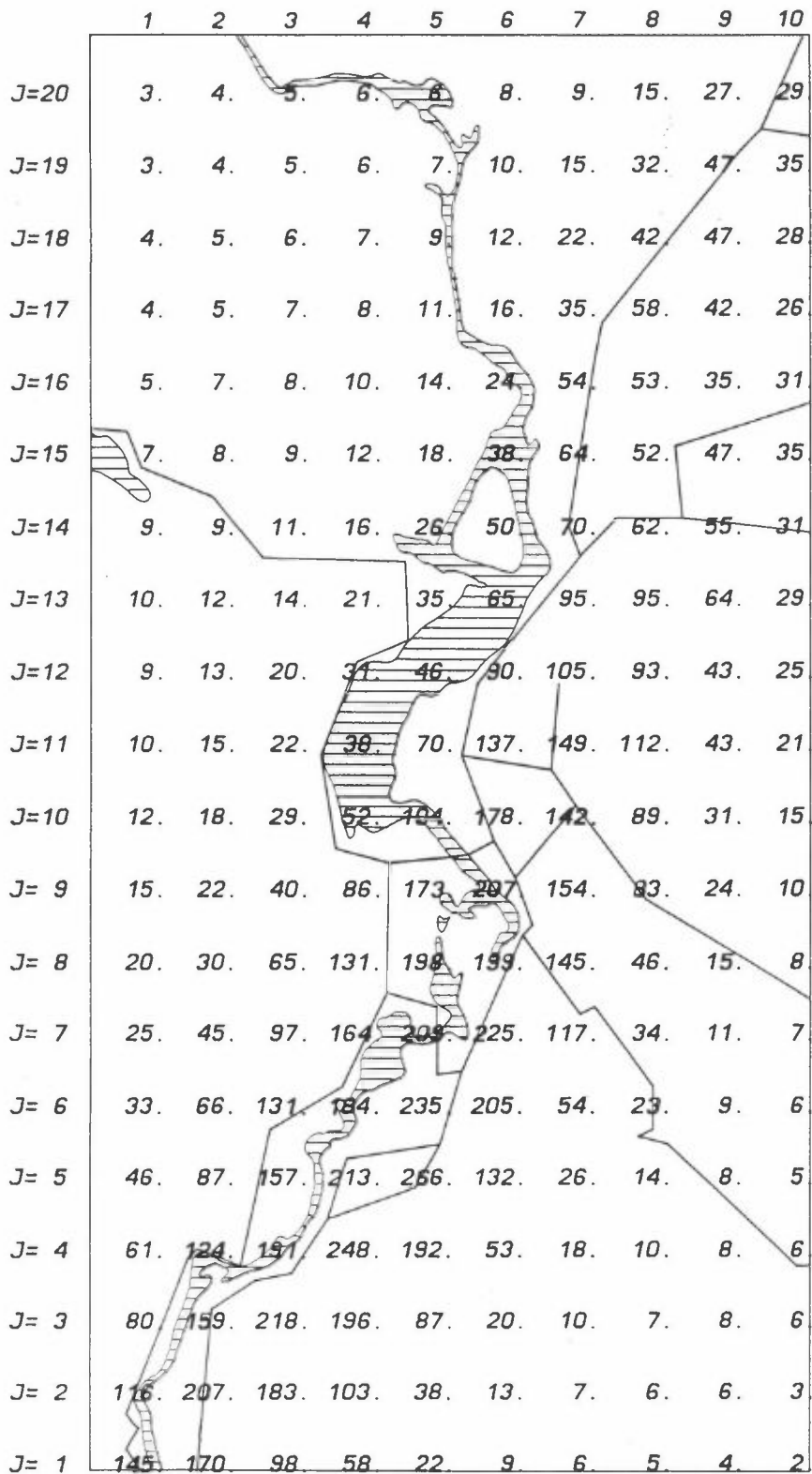
Figur B13: Middelkonsenstrasjoner av SO<sub>2</sub> for alle kildegrupper for vinterhalvåret 1989.  
 Bakgrunnsbelastning: 1,0 µg/m<sup>3</sup>.  
 Enhett: 10<sup>-1</sup> µg/m<sup>3</sup>.



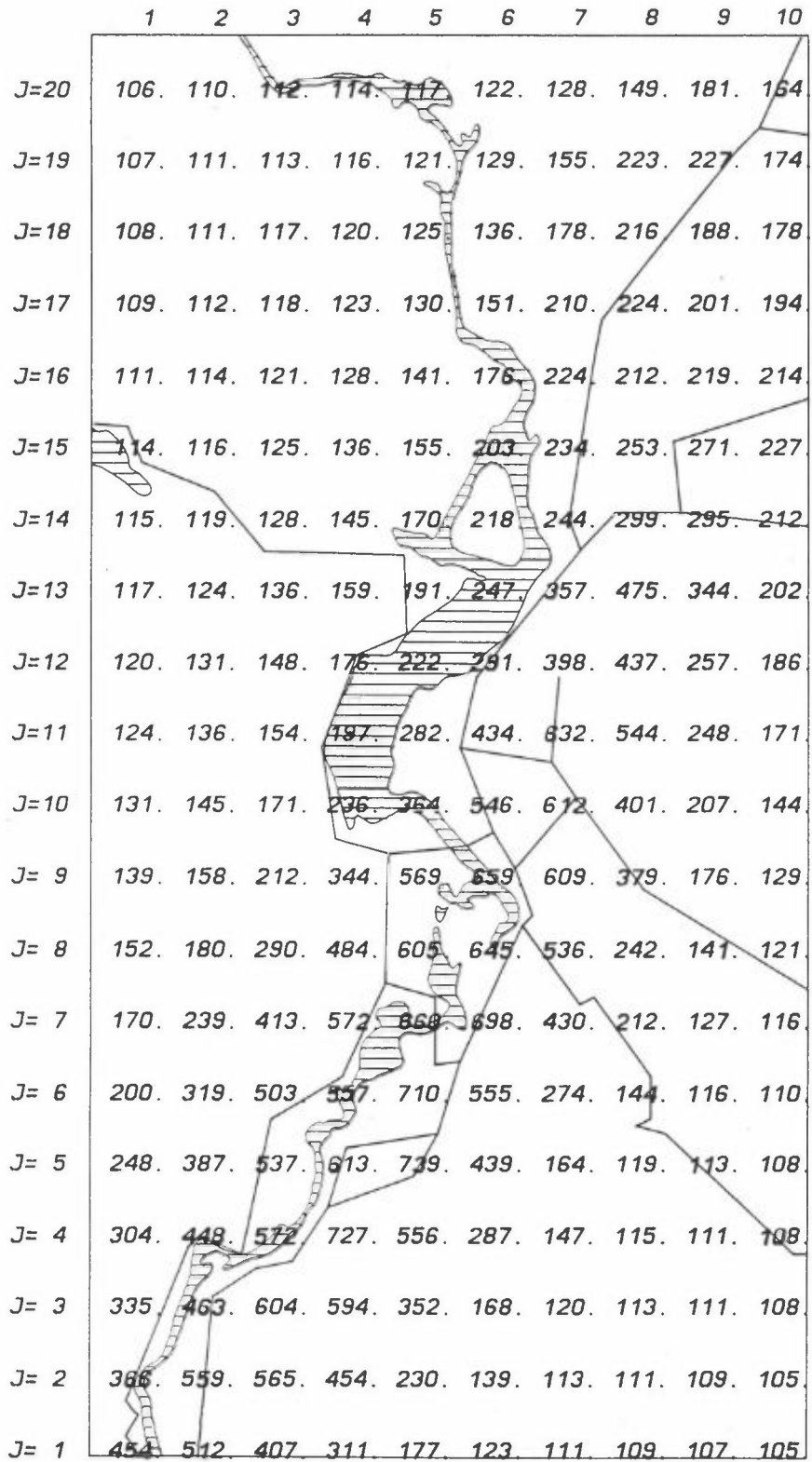
Figur B14: Middelkonsenstrasjoner av NO<sub>x</sub> for alle kildegrupper for vinterhalvåret 1989.

Bakgrunnsbelastning: 4,3 µg/m<sup>3</sup>.

Enhet: 10<sup>-1</sup> µg/m<sup>3</sup>.



Figur B15: Middelkonsenstrasjoner av CO for alle kildegrupper for vinterhalvåret 1989.  
Ingen bakgrunnsbelastning er lagt inn.  
Enhet: 10  $\mu\text{g}/\text{m}^3$ .



Figur B16: Middelkonsenstrasjoner av partikler for alle kildegrupper for vinterhalvåret 1989.  
Ingen bakgrunnsbelastning er lagt inn.  
Enhett:  $10^{-2} \mu\text{g}/\text{m}^3$ .

## **VEDLEGG C**

**Grenseverdier for luftkvalitet**



I dette vedlegget er det gjengitt sammendraget i SFT-rapport nr. 38: "Luftforurensninger. Virkninger på helse og miljø". I tabellen på neste side er noen av grenseverdiene gitt som et intervall, med en nedre og en øvre grenseverdi. Når overskridelser av grenseverdier er omtalt i Konklusjon og i Hovedmomenter for konklusjonen, er det nedre grenseverdier som er brukt, med mindre noe annet er angitt.

En arbeidsgruppe ble opprettet av Statens forurensningstilsyn i 1979. Gruppen har på grunnlag av litteraturstudier beskrevet sammenhengen mellom luftforurensning og skadefaktorer på helse og miljø (doseeffektforhold) for stoffene svoveldioksid ( $\text{SO}_2$ ), svevestøv, nitrogendioksid ( $\text{NO}_2$ ), karbonmonoksid (CO), fotokjemiske oksydanter, bly og fluorider. For samtlige stoffer, unntatt bly, har gruppen angitt luftkvalitetsgrenseverdier for helsevirkninger. For noen av komponentene oppstår skade på dyr eller vegetasjon ved tilsvarende eller lavere nivåer enn for helseskade. For disse stoffer har gruppen angitt grenseverdier også for slike virkninger. Grenseverdier for vegetasjonskade er angitt for  $\text{SO}_2$ , fotokjemiske oksydanter og fluorid og grenseverdier for skade på dyr er angitt for fluorid.

Med "grenseverdier for helsevirkninger" for et stoff menes her et eksponeringsnivå (den mengden av forurensning) som man ut fra nåværende viden antar befolkningen kan utsettes for uten at helsevirkninger forekommer. Det er regnet med samvirke mellom stoffet og vanlig forekomst av de andre omtalte forurensninger. Det er tatt hensyn til spesielt følsomme grupper i befolkningen.

Grenseverdiene for skade på vegetasjon og dyr skal oppfattes på tilsvarende måte.

Gruppen oppgave har ikke vært å legge fram forslag til nasjonale bestemmelser om luftkvalitet (normer), men å presentere det kunnskapsgrunnlag om virkninger på helse og miljø som er nødvendig for å fastsette slike bestemmelser.

OVERSIKT OVER GRENSEVERDIER FOR LUFTKVALITET  
ANGITT AV ARBEIDSGRUPPEN

Stoff	Måleenhet/ metode	Virkning på	Midlingstid				
			1 h	8 h	24 h	30 d	6 mndr.
Svodeldioksid ( $\text{SO}_2$ ) <sup>a)</sup> Svevestøv <sup>a)</sup> Svodeldioksid ( $\text{SO}_2$ )	$\mu\text{g}/\text{m}^3$ " "	Helse Vegetasjon			100-150 100-150 50		40-60 40-60 25
Nitrogendioksid ( $\text{NO}_2$ )	$\mu\text{g}/\text{m}^3$	Helse	200-350		100-150		75
Karbonmonoksid (CO)	$\text{mg}/\text{m}^3$	Helse	25	10			
Fotokjemiske oksydanter " " " målt ved ozon-innholdet	$\mu\text{g}/\text{m}^3$	Helse Vegetasjon	100-200 200				
Fluorider <sup>b)</sup> " b) " c)	$\mu\text{g F}/\text{m}^3$	Helse Dyr Vegetasjon			25 1,0	0,2-0,4 <sup>d)</sup>	10 0,3

- a) Virkningen av de to komponenter forsterker hverandre når de kommer i luften. Forslaget til grenseverdier forutsetter at den forurensede luften inneholder begge komponenter.
- b) Grenseverdi for totalfluorid.
- c) Grenseverdi for gassformig fluorid.
- d) Utgangspunkt for luftkvalitetsgrenseverdien er at høy og beitegras bare unntaksvis bør inneholde mer enn 30 mg fluor pr. kg tørrstoff. Dette er anslått å svare til en konsentrasjon av totalfluorid av størrelsesorden  $0,2-0,4 \mu\text{g F}/\text{m}^3$  luft.

- Svodeldioksid ( $\text{SO}_2$ ) stammer først og fremst fra forbrenning av olje og kull, men også fra enkelte typer industri som treforedeling, raffinerier og smelteverk.  $\text{SO}_2$  virker irritende på slimhinner og øker risikoen for luftveislydommer. I høye konsentrasjoner kan  $\text{SO}_2$  medføre økt sykelighet og dødelighet for eldre og personer med kroniske luftveislidelser. Virkningen av  $\text{SO}_2$  forsterkes av høye konsentrasjoner av svevestøv og sot.
- Svevestøv og sot stammer først og fremst fra forbrenningsprosesser, men i enkelte områder kan industriprosesser også gi betydelige bidrag. Særlig de minste partiklene anses å kunne gi helsevirkninger, ettersom de kan trekkes helt ned i

lungene, og ofte fungerer som bærere av stoffer som virker kreftfremkallende eller kan gi arvelige skader.

- Nitrogenoksid (NO<sub>x</sub>) kommer først og fremst fra forbrenningsprosesser, og veitrafikk er i Norge den dominerende kilde. Produksjon av salpetersyre og kunstgjødsel medfører lokalt betydelige utslipp. Nitrogendioksid (NO<sub>2</sub>) gir økt luftveismotstand og økt fare for luftveisinfeksjoner.
- Karbonmonoksid (kullos, CO) kommer først og fremst fra bensinbiler. Ved høye konsentrasjoner reduseres blodets evne til å ta opp oksygen. Dette medfører redusert oppmerksomhet og konsentrasjonsevne og nedsatt arbeidsevne og utholdenhet. Hjertekrampepasienter kan få økt risiko for anfall.



**VEDLEGG D**

Konsentrasjoner av CO og NO<sub>2</sub> langs veier



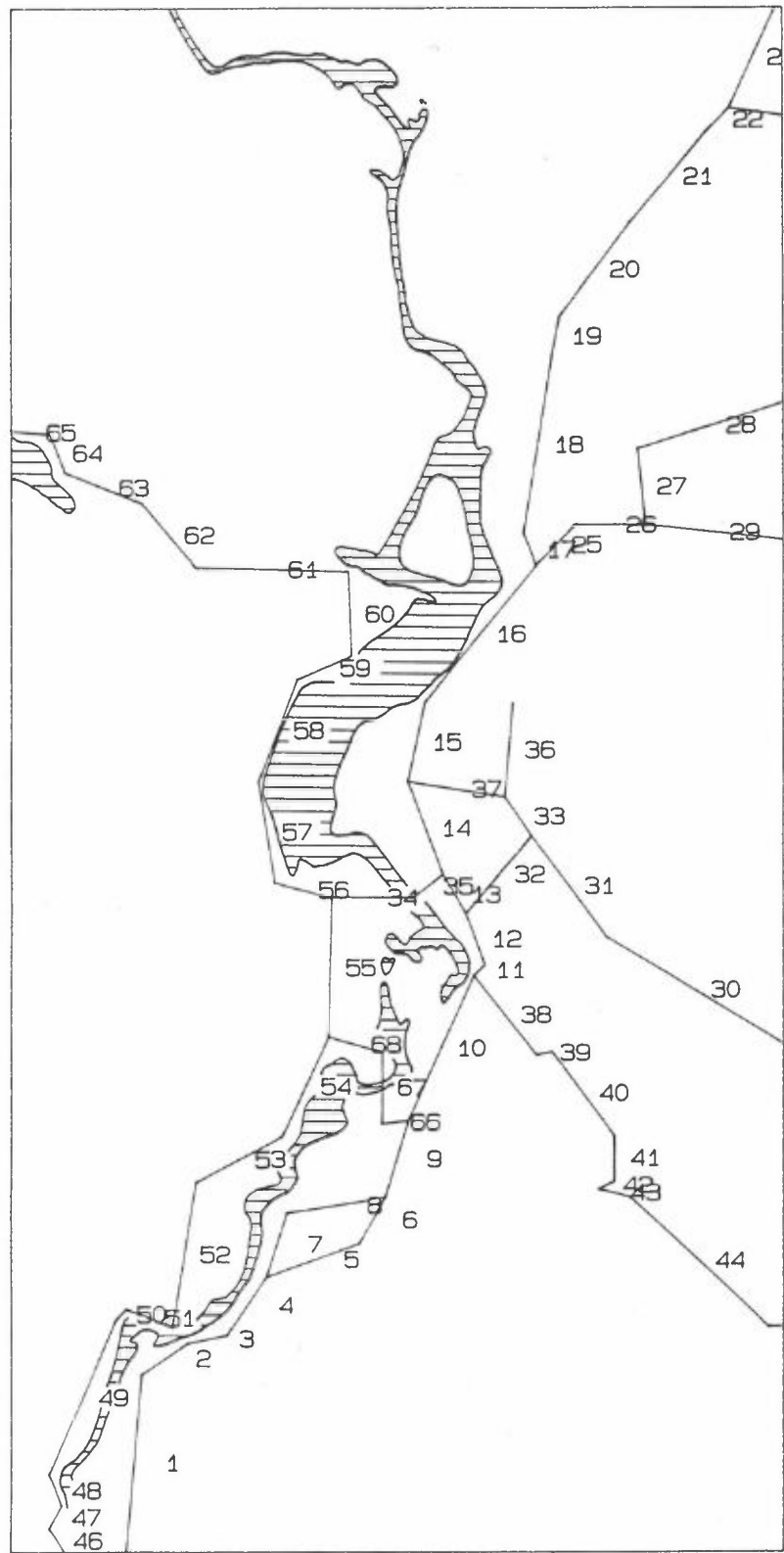
Figur D1 viser veilenkene som er med i beregningene i tabell D1.

I tabell D1 er oppgitt lenkenummer (LNR), konsentrasjoner av CO og NO<sub>2</sub> for veilenken, årsdøgntrafikk (ÅDT) for veilenker og til slutt koordinater for veilenken. Koordinatene er fra UTM-systemet (Universal Transverse Mercator) og er gitt i hele hundre meter.

Anbefalt grenseverdi for CO er 25 mg/m<sup>3</sup>.

Anbefalt grenseverdi for NO<sub>2</sub> er 200-350 µg/m<sup>3</sup>.





Figur D1: Veilenkumermer (LNR) for konsentrasjonsberegninger av CO og NO<sub>2</sub> langs veier i Vennesla.

Tabell D1: Konsentrasjoner av CO og NO<sub>2</sub> langs veier i Vennesla.

## KONSENTRASJONSBEREGRINGER :

BEREGNINGENE ER GJORT FOR MORGEN-RUSH.

BAKGRUNNS-VERDIER ANVENDT I KONSENTRASJONS-BEREGRINGERNE :

CO - SENTRUM (MG/M <sub>3</sub> ) .....	4.3
CO - MELLOM (MG/M <sub>3</sub> ) .....	3.2
CO - UTKANT (MG/M <sub>3</sub> ) .....	2.1
NO <sub>2</sub> - SENTRUM (UG/M <sub>3</sub> ) .....	27.0
NO <sub>2</sub> - MELLOM (UG/M <sub>3</sub> ) .....	20.0
NO <sub>2</sub> - UTKANT (UG/M <sub>3</sub> ) .....	14.0
REGIONALT OZON (UG/M <sub>3</sub> ) .....	60.0
NO <sub>2</sub> - ANDEL I GATER (%) .....	8.0
AVSTAND FRA VEIKANT (M) .....	5.0

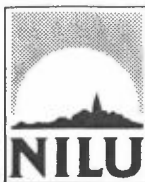
## BEREGNETE MAKSIMUMSKONSENTRASJONER FOR RUSH-TIDSTRAFIKK :

NB ! KONSENTRASJONENE ER GITT I MILLIGRAM PR. KUBIKKMETER (MG/M<sub>3</sub>) FOR CO, OG MIKROGRAM PR. KUBIKKMETER (UG/M<sub>3</sub>) FOR NO<sub>2</sub>.

LNR.	KONSENTRASJONER		ÅDT	KOORDINATER		
	CO	NO <sub>2</sub>		X1	Y1	X2
1	6.572	132.	3800.	55000.	37750.	56150.
2	6.572	132.	3800.	56150.	37850.	56350.
3	7.588	152.	5500.	56350.	38150.	56400.
4	7.588	152.	5500.	56400.	38400.	56780.
5	7.738	155.	5750.	56780.	38650.	57000.
6	7.738	155.	5750.	57000.	39250.	57300.
7	5.525	109.	2000.	56780.	38650.	57200.
8	5.525	109.	2000.	57200.	38780.	57300.
9	8.934	178.	7750.	57300.	39420.	57800.
10	5.882	137.	6850.	57800.	39570.	58750.
11	5.633	133.	6400.	58750.	40000.	58820.
12	5.413	129.	6000.	58820.	40070.	59150.
13	5.192	126.	5600.	59150.	39950.	59400.
14	5.192	126.	5600.	59400.	39800.	60000.
15	7.166	127.	3500.	60000.	39570.	60500.
16	6.281	113.	2400.	60500.	39680.	61390.
17	5.358	105.	1700.	61390.	40400.	61600.
18	5.358	105.	1700.	61600.	40320.	62750.
19	5.156	102.	1375.	62750.	40500.	63000.
20	5.156	102.	1375.	63000.	40550.	63610.
21	5.156	102.	1375.	63610.	41000.	64200.
22	5.156	102.	1375.	64200.	41500.	64350.
23	4.425	89.	150.	64350.	41650.	64300.
24	5.051	101.	1225.	64350.	41650.	65000.
25	4.507	90.	300.	61390.	40400.	61650.
26	4.507	90.	300.	61650.	40650.	61650.
27	4.369	88.	100.	61650.	41100.	62150.
28	4.369	88.	100.	62150.	41050.	62450.
29	4.438	89.	200.	61650.	41100.	61550.
30	4.438	89.	200.	58300.	42000.	59000.
31	4.438	89.	200.	59000.	40850.	59650.
32	2.196	76.	200.	59650.	40370.	59150.
33	4.465	89.	200.	59650.	40370.	59900.
34	4.603	92.	500.	59250.	39070.	59250.
35	2.337	78.	500.	59250.	39600.	59400.

Tabell D1: forts.

36	4. 383	88.	100.	59900.	40200.	60500.	40250.
37	4. 423	89.	150.	59900.	40200.	60000.	39570.
38	5. 160	99.	1050.	58750.	40000.	58230.	40400.
39	5. 160	99.	1050.	58230.	40400.	58250.	40500.
40	5. 160	99.	1050.	58250.	40500.	57700.	40900.
41	5. 160	99.	1050.	57700.	40900.	57400.	40900.
42	5. 160	99.	1050.	57400.	40900.	57350.	40800.
43	5. 160	99.	1050.	57350.	40800.	57300.	41000.
44	4. 943	99.	1050.	57300.	41000.	56450.	41900.
45	4. 943	99.	1050.	56450.	41900.	56450.	42000.
46	5. 525	109.	2000.	55000.	37350.	55150.	37250.
47	5. 525	109.	2000.	55150.	37250.	55300.	37330.
48	5. 525	109.	2000.	55300.	37330.	55500.	37250.
49	5. 525	109.	2000.	55500.	37250.	56500.	37680.
50	5. 525	109.	2000.	56500.	37680.	56570.	37750.
51	5. 525	109.	2000.	56570.	37750.	56450.	38050.
52	5. 525	109.	2000.	56450.	38050.	57400.	38200.
53	5. 132	98.	1000.	57400.	38200.	57700.	38750.
54	5. 132	98.	1000.	57700.	38750.	58350.	39050.
55	5. 111	95.	825.	58350.	39050.	59250.	39070.
56	4. 981	96.	825.	59250.	39070.	59350.	38700.
57	4. 810	96.	825.	59350.	38700.	60000.	38600.
58	4. 810	96.	825.	60000.	38600.	60650.	38850.
59	4. 810	96.	825.	60650.	38850.	60800.	39200.
60	4. 810	96.	825.	60800.	39200.	61350.	39180.
61	4. 810	96.	825.	61350.	39180.	61380.	38200.
62	4. 810	96.	825.	61380.	38200.	61800.	37850.
63	4. 810	96.	825.	61800.	37850.	62000.	37350.
64	4. 810	96.	825.	62000.	37350.	62250.	37250.
65	4. 810	96.	825.	62250.	37250.	62270.	37000.
66	6. 856	128.	3200.	57800.	39570.	57780.	39400.
67	6. 856	128.	3200.	57780.	39400.	58250.	39400.
68	6. 856	128.	3200.	58250.	39400.	58350.	39050.



NORSK INSTITUTT FOR LUFTFORSKNING (NILU)  
NORWEGIAN INSTITUTE FOR AIR RESEARCH  
POSTBOKS 64, N-2001 LILLESTRØM

RAPPORTTYPE OPPDRAKSRAPPORT	RAPPORTNR. OR 60/91	ISBN-82-425-0291-9	
DATO OKTOBER 1991	ANSV. SIGN. <i>Aasland</i>	ANT. SIDER 81	PRIS NOK 135,-
TITTEL Spredningsberegninger for utslipp til luft i Vennesla, vinterhalvåret 1989.	PROSJEKTLEDER I. Haugsbakk NILU PROSJEKT NR. O-90047		
FORFATTER(E) I. Haugsbakk	TILGJENGELIGHET * A OPPDRAKGIVERS REF.		
OPPDRAKGIVER (NAVN OG ADRESSE) Vennesla kommune Postboks 25 4701 Vennesla			
STIKKORD Vennesla      Spredningsberegninger      Luftkvalitet			
REFERAT NILU har utført spredningsberegninger av utslipp til luft fra tre kilde-kategorier i Vennesla; husoppvarming/småindustri, industri og biltrafikk. Beregningene gav ingen overskridelser av foreslatté grenseverdier for halvårsmidler for noen av komponentene. SO <sub>2</sub> - og NO <sub>x</sub> -utslippene bidro med maksimale halvårsmidler på henholdsvis 48% (SO <sub>2</sub> ) og 23% (NO <sub>2</sub> ) av anbefalte grenseverdier. I et utvalgt vinterdøgn med stabile atmosfæriske forhold var SO <sub>2</sub> - og NO <sub>2</sub> -bidragene 14% av grenseverdi for SO <sub>2</sub> og 26% av nedre grenseverdi for NO <sub>2</sub> . Langs veinettet i området gav beregningene av maskimale korttidskonsentrasjoner ingen overskridelser av grenseverdier for CO og NO <sub>2</sub> langs noen veier.			

TITLE Calculated concentrations from air pollutants at Vennesla during the winter period 1989.

ABSTRACT

Air pollutant concentrations from three different groups of sources (house-heating/minor industry, point sources and traffic) have been estimated for the Vennesla region. The concentration survey is based upon calculations according to data from the emission survey. The results did not exceed any border values for any of the components.

- \* Kategorier: Åpen - kan bestilles fra NILU      A  
Må bestilles gjennom oppdragsgiver      B  
Kan ikke utleveres      C